

計畫編號：DOH92 -TD-1132

1
2

行政院衛生署九十二年度科技研究發展計畫

建構預測登革熱抑制劑之快速篩選系統

研究報告

執行機構：國立交通大學生物科技系

計畫主持人：楊進木

協同主持人：楊昀良

研究人員：陳俊辰、陳彥甫、林建宏、董其樺、沈再威

執行期間：92年1月1日至92年12月31日

本研究報告僅供參考，不代表本署意見

目 錄

Part A

1. 中文摘要	(3)
2. 英文摘要	(4)
3. 九十二年度計畫著作一覽表	(5)
4. 九十二年度計畫重要研究成果	
4.1 GEMDOCK 應用於預測 protein-ligand docking	(6)
4.2 GEMDOCK 應用於篩選藥物資料庫	(6)
4.3 GEMDOCK 應用於 DenII NS3 serine protease 的前導藥物篩選	(8)
5. 九十二年度科技計畫重要研究成果產出統計表	(9)

Part B

1. 前言與背景分析	(11)
2. 研究目的與執行成果概要	(14)
3. 研究方法	(15)
4. 結果與討論	
4.1 GEMDOCK 應用於預測 protein-ligand docking	(18)
4.2 GEMDOCK 應用於篩選藥物資料庫	(20)
4.3 GEMDOCK 應用於 DenII NS3 serine protease 及 SARS coronavirus 3C-like protease	(21)
4.4 CMC 藥物資料庫的篩選結果	(23)
4.4.1 前 200 名化合物一覽表	(29)
4.5 280 個蛋白水解酶抑制劑的篩選結果	(44)
4.5.1 前 100 名化合物一覽表	(45)
5. 結論與建議	(57)
6. 審查意見之回覆	(57)
7. 參考文獻	(62)

行政院衛生署科技研究發展計畫原始數據資料庫
資料讀我檔案

計畫名稱：建構預測登革熱抑制劑之快速篩選系統

計畫編號：DOH92-TD-1132

執行機構：國立交通大學生物科技系

計畫主持人：楊進木

計畫主持人服務單位：國立交通大學生物科技系

計畫主持人職稱：助理教授

研究報告中文摘要：

目前藥物設計的主要方法之一為針對已知結構的蛋白質，應用電腦軟體工具在化合物資料庫中篩選潛在的抑制劑，此法可以有效縮短尋找潛在抑制劑的時間，並降低實驗所需的成本。目前較為廣泛運用的電腦輔助藥物設計軟體有 GOLD、DOCK 及 FlexX 等。GEMDOCK 為本計畫預計開發的一套輔助藥物設計軟體，可以計算小分子化合物與蛋白質鉗合(docking)的能量，準確地預測小分子與蛋白質活性區域(active site)結合的位置及位向。GEMDOCK 在預測已知結構之 protein-ligand docking 的 112 個預測結果中，計有 90 個的 $RMSD \leq 2.0 \text{ \AA}$ ；另外在篩選藥物資料庫方面，將 GEMDOCK 應用於 TK (thymidine kinase) 上，已知 PDB 中與 TK 共同結晶的 ligand 有 10 個，再加上由藥物資料庫中隨機篩選的 1,000 個化合物，根據 docking 計算所得的分數做排序，排名前 5% 化合物中，有 10 個已知 PDB ligand 中的 9 個，尋回比率達 90%。排名前 5% 的化合物可分為三群：1. real ligand, 2. purine analog, 3. pyrimidine analog，這三群均為核苷酸的相似物，可見 GEMDOCK 能有效地自 1,000 個化合物中篩選出真正會與 TK 結合的小分子，及與其結構相似的其他化合物。登革熱為台灣每年夏季常見的流行病，其蛋白水解酶(serine protease)可以用來做為藥物設計的標的。我們已以 GEMDOCK 應用於登革病毒的蛋白水解酶(DenII NS3 serine protease)，從 CMC 藥物資料庫 (7,500 compounds) 及已知結構的蛋白水解酶抑制劑 (280 compounds) 中篩選潛在的抑制劑，做為藥物設計的前導藥物。篩選的結果依照 docking 的位置可分為三群：1. 位於 binding site, 2. 位於 S1 pocket, 3. 位於 S1 pocket 及 catalytic site，這三群化合物可以作為選擇前導藥物的參考。我們相信前的 2% (約 150 compounds)，極有可能成為登革病毒蛋白水解酶之抑制劑的前導藥物。部分 compounds 已由協同主持人楊昀良教授，進行細胞實驗中。

本計畫以 GEMDOCK 為工具，建構一套前導藥物(lead compound)的快速篩選系統。此系統若與傳統的藥物開發方式互補，將可以組合成一個更完善的藥物開發體系，並大大地縮短臨床實驗所需的時間與經費。

中文關鍵詞(至少三個)：登革熱，登革病毒蛋白水解酶，虛擬藥物篩選，鉗合，前導藥物

Research Data Archive, Department of Health, The Executive Yuan, R.O.C.

Readme file

Project Title: A high throughput system for identifying the inhibitors of dengue fever

Project Number: DOH92-TD-1132

Executing Institute: National Chiao-Tung University

Principal Investigator(P.I.): Jinn-Moon Yang

P.I. Position Title: Assistant Professor

P.I. Institute: National Chiao-Tung University

Abstract:

Virtual screening of chemical databases is now a well-established method for finding new lead compounds for rational drug design. When used prior to experimental screening, it can be considered as a powerful computational filter for reducing the size of a chemical library that will be further experimentally tested. Several docking programs are now available that generally are able to predict known protein-bound ligand poses with averaged accuracies of 1.5-2.0Å, such as GOLD, DOCK, and FlexX, etc. GEMDOCK is the program we developed in this project, and we apply the tool to establish a virtual screening system. Dengue fever, a graphically widespread epidemic caused by dengue virus type I-IV, annually causes many social and commercial damages in Taiwan. The NS3 serine protease is a good target for drug design. We had applied GEMDOCK to predict 112 protein-bound ligand poses, and there were 90 ligand poses with RMSD below 2.0Å. We also have applied GEMDOCK to virtual screening to TK (thymidine kinase). There were 10 known protein-ligand complexes of TK in the PDB (Protein Data Bank). For screening the dataset (1,055 compounds; 1,045 and 10 are from MDDR and PDB, respectively) to TK and scoring the compounds, we retrieved 9 of the 10 TK ligands from the top 5% scorer. The top 5% scorer could be clustered into three groups: 1) real ligands, 2) purine analogs, and 3) pyrimidine analogs, and all they were analogs of nucleoside. These experiments have improved that GEMDOCK could well discriminate real ligands and their analogs from other compounds. Finally, we screen CMC (Comprehensive Medicinal Chemistry) and protease inhibitors from PDB to DenII serine protease with GEMDOCK. The top 5% scorer of the docking results could be clustered to three groups by the docking positions: 1) in the binding site, 2) in the S1 pocket, and 3) in the S1 pocket and the catalytic site. The compounds of the three groups could be considered as possible lead compounds for rational drug design.

Keyword: dengue fever, DenII serine protease, virtual screening, protein-ligand docking, lead compound, GEMDOCK

九十二年度計畫著作一覽表

計畫名稱：建構預測登革熱抑制劑之快速篩選系統

主 持 人：楊進木 計畫編號：DOH92-TD-1132

列出貴計畫於本年度中所有計畫產出於下表，包含已發表或已被接受發表之文獻、已取得或被接受之專利、擬投稿之手稿（manuscript）以及專著等。「計畫產出名稱」欄位請依「臺灣醫誌」參考文獻方式撰寫；「產出形式」欄位則填寫該產出為期刊、專利、手稿或專著等，舉例如下：

序號	計畫產出名稱	產出形式	SCI*
1	J.-M. Yang and C.-C. Chen, "GEMDOCK: A generic evolutionary method for molecular docking", to appear in <i>Proteins: Structure, Function and Genetics</i>	期刊	✓
2	J.-M. Yang "Development and evaluation of a generic evolutionary method for protein-ligand docking," to appear in <i>Journal of Computational Chemistry</i>	期刊	✓
3	E.-S. Lin, J.-M. Yang, and Y.-S. Yang, "Modeling the binding and inhibition mechanism of nucleotide and sulfotransferase using molecular docking", <i>Journal of the Chinese Chemical Society</i> , vol. 50, pp. 655-663, 2003.	期刊	✓
4			
5			
6			
7			
8			
9			
10			

* SCI: Science Citation Index，若發表之期刊為 SCI 所包含者，請打「✓」。

九十二年度計畫重要研究成果

計畫名稱：建構預測登革熱抑制劑之快速篩選系統

主 持 人：楊進木 計畫編號：DOH92-TD-1132

1. 本計畫開發了一套輔助藥物計軟體 GEMDOCK，可用來計算小分子化合物與蛋白質活性區域間結合的能量，預測小分子化合物結合於活性區域最穩定的位置及位向。並以此為核心工具，建構出一套針對登革病毒蛋白水解酶的抑制劑快速篩選系統。GEMDOCK 可應用於各種藥物開發平台的前端開發(如 Figure 1 所示：綠色為原來 ligand 位置，紅色為預測之 ligand 位置)。此系統可提供 web based 的遠端服務。GEMDOCK 在預測的準確度方面，目前已有頗佳的之預測統計結果，預測結果依 RMSD 做分類，在 112 個預測結果中，有 90 個 $\leq 2.0 \text{ \AA}$ ，此意味著預測的 ligand 位置與原來結晶的位置幾乎重合 [1, 2]。

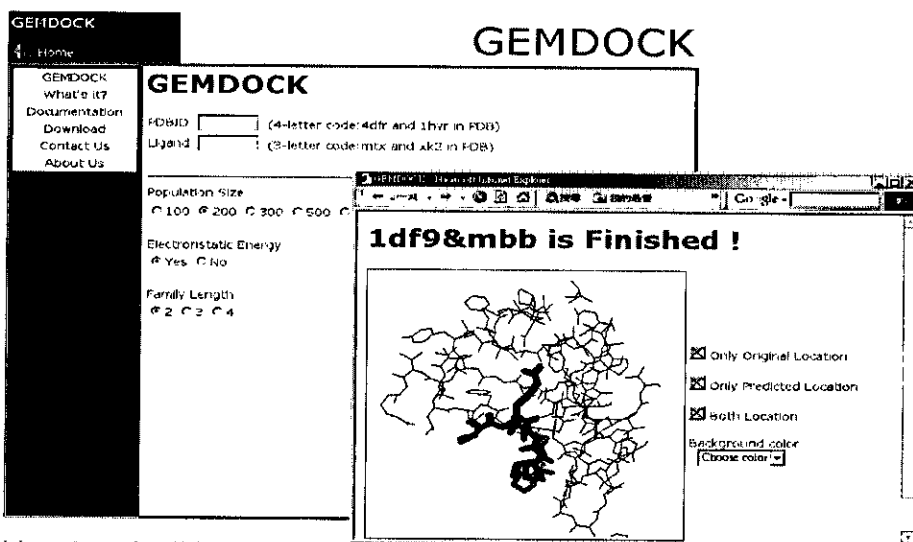


Figure 1 : GEMDOCK web based 遠端服務系統圖示

2. GEMDOCK 在篩選藥物資料庫方面，將 GEMDOCK 應用於 TK (thymidine kinase)上，已知 PDB 中與 TK 共同結晶的 ligand 有 10 個，再加上由藥物資料庫中隨機篩選的 990 個化合物，根據 docking 計算所得的分數排序，排名前 5% 化合物中，有 10 個已知 PDB ligand 中的 9 個(Figures 2 and 3)，尋回的機率達 90%。排名前 5% 的化合物可分為三群：1. real ligand，2. purine analog，3. pyrimidine analog，這三群均為核苷酸的相似物，可見 GEMDOCK 能有效地自 1,055 個化合物中篩選出真正會與 TK 結合的小分子，及與其結構相似的其他化合物。

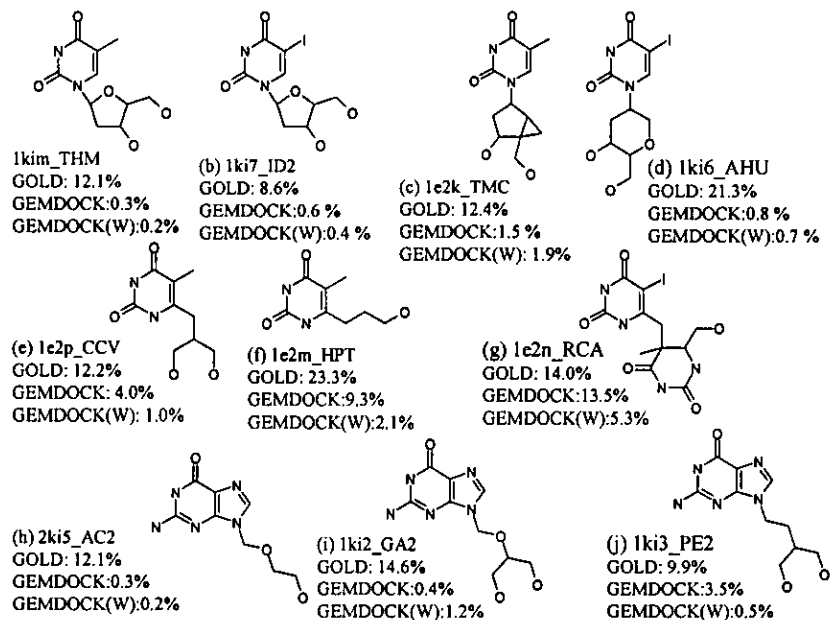


Figure 2: GEMDOCK 及 GOLD 在 thymidine kinase ligands 上的結果比較，以 1kim_THM 為例，THM在GOLD的排名為前 12.1%，在GEMDOCK的排名為前 0.3%，在蛋白質活性區域的重要胺基酸加重計分後（ GEMDOCK(W) ），排名提昇為前 0.2%

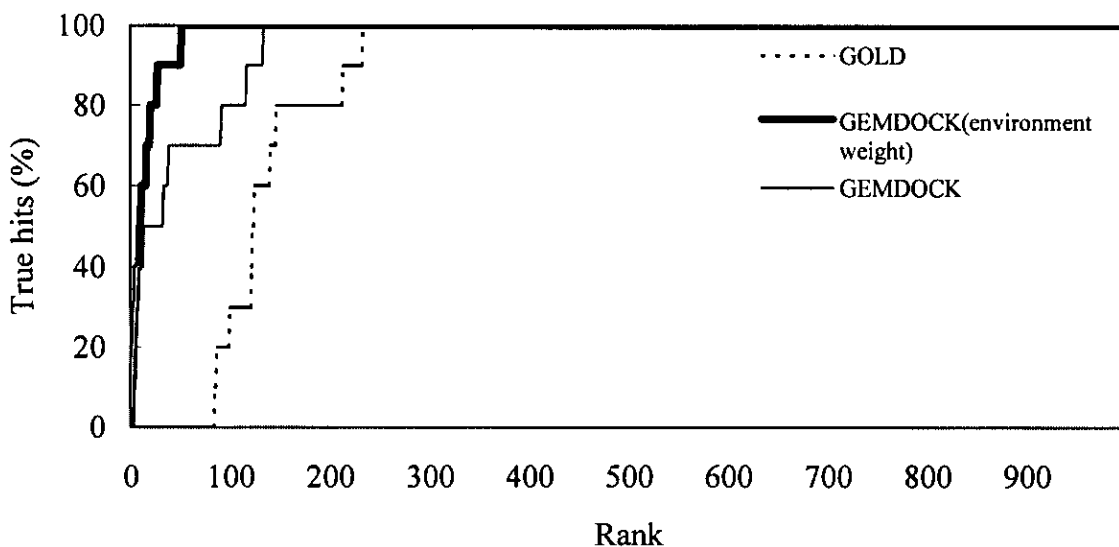


Figure 3: GEMDOCK 及 GOLD 在篩選 1000 個化合物上的確準率比較圖，GEMDOCK 在 200 名前準確率即已達到 100%，GOLD 則在 300 名前準確率才達到 100%

- 將 GEMDOCK 應用於登革病毒蛋白水解酶 (DenII NS3 serine protease)上，自 CMC 藥物資料庫，做為藥物設計的前導藥物。篩選的結果依其 1) 分子與蛋白質嵌合之位置 2)

和蛋白質嵌合之結合作用區, 3) 分子基本骨架結構作為分類標準(Figure 4)。

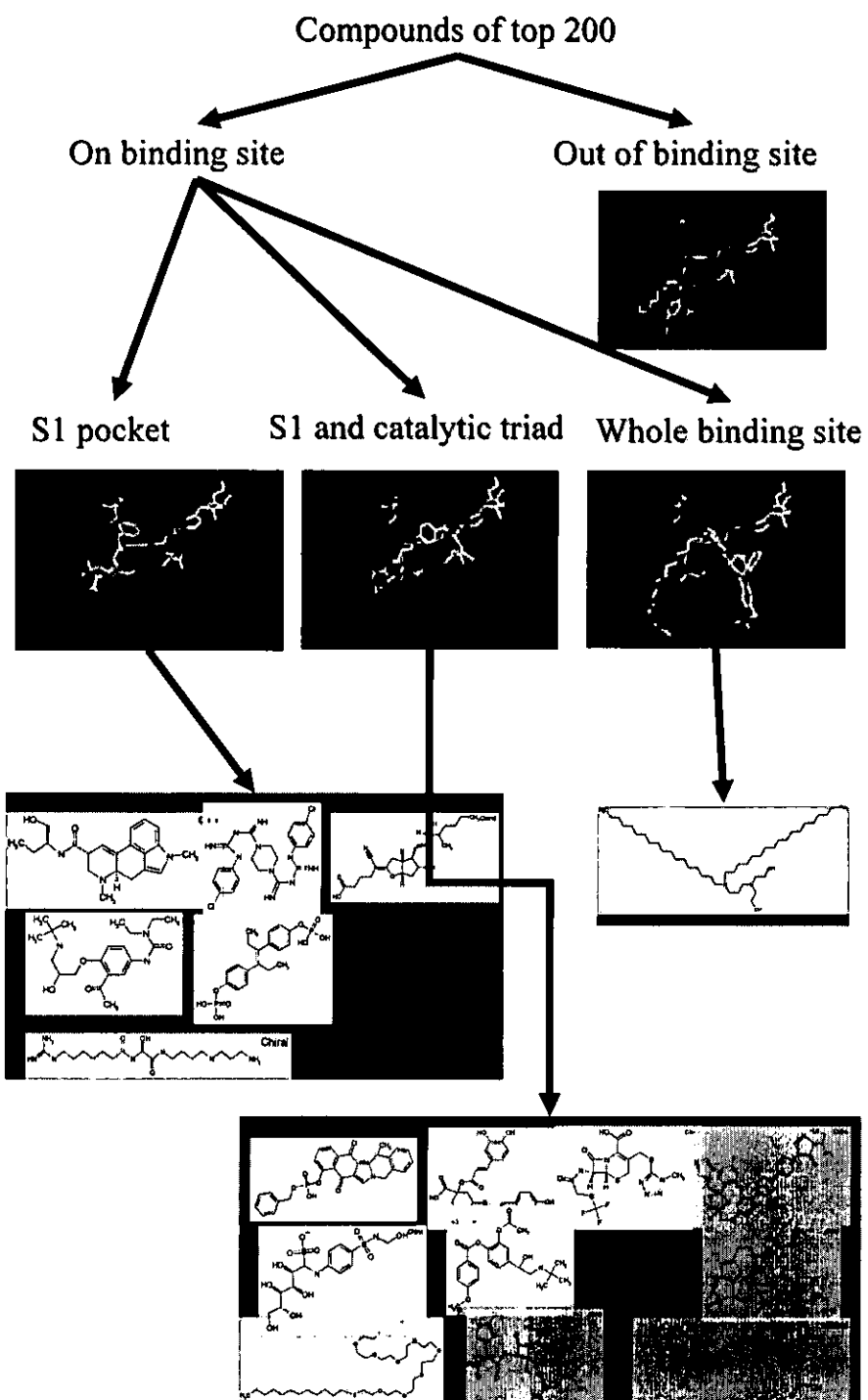


Figure 4: 前兩百名之分子分群

4. 自已知結構的蛋白水解酶抑制劑(protease inhibitor)中篩選登革病毒蛋白水解酶潛在的抑制劑，做為藥物設計的前導藥物。篩選的結果依其 docking 的位置可分為三群：1) 位於 binding site (Figure 5), 2) 位於 S1 pocket (Figure 6), 3) 位於 S1 pocket 及 catalytic site (Figure 7)，這三群化合物可以作為選擇前導藥物的參考



Figure 5

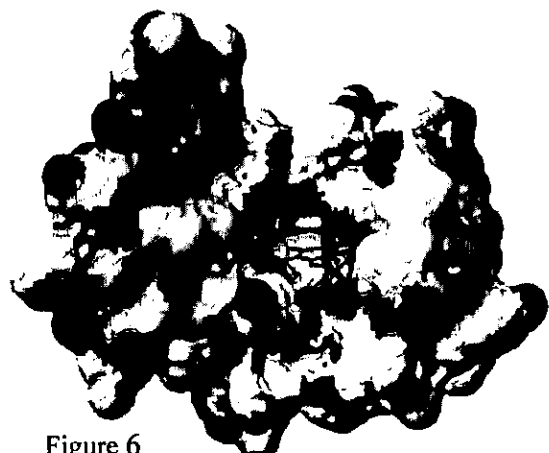


Figure 6

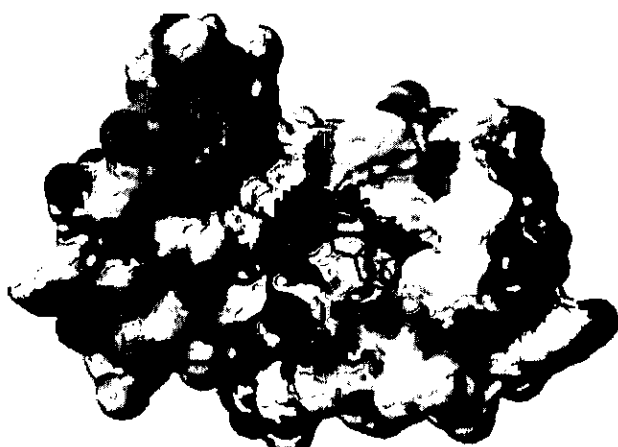


Figure 7

九十二年度科技計畫重要研究成果產出統計表

計畫名稱：建構預測登革熱抑制劑之快速篩選系統

主持人：楊進木 計畫編號：DOH92-TD-1132

(係指執行本九十二年度計畫之所有研究產出成果)

科技論文篇數			技術移轉			技術報告		篇
發表地點 類型	國 內	國 外	類 型	經 費	項 數	技術創新		項
期 刊 文	篇	2 篇	技 術 輸 入	千 元	項	技術服務		項
研討會 論 文	篇	1 篇	技 術 輸 出	千 元	項	專利權 (核准)	國 內	項
專 著	篇	篇	技 術 擴 散	千 元	項	著作權 (核准)	國 內	項
							國 外	項

[註]：

期刊論文：指在學術性期刊上刊登之文章，其本文部分一般包括引言、方法、結果及討論，並且一定有參考文獻部分，未在學術性期刊上刊登之文章（研究報告等）與博士或碩士論文，則不包括在內。

研討會論文：指參加學術性會議所發表之論文，且尚未在學術性期刊上發表者。

專著：為對某項學術進行專門性探討之純學術性作品。

技術報告：指因從事某項技術之創新、設計及製程等研究發展活動所獲致的技術性報告並未公開發表者。

技術移轉：指技術由某個單位被另一個單位所擁有的過程。我國目前之技術移轉包括下列三類：一、技術輸入。二、技術輸出。三、技術擴散。

技術輸入：藉僑外投資、與外國技術合作、投資國外高科技事業等方式取得先進之技術引進國內者。

技術輸出：指直接供應國外買主具生產能力的應用技術、設計、顧問服務及專利等。我國技術輸出方式包括整廠輸出、對外投資、對外技術合作及顧問服務等四種。

技術擴散：指政府引導式的技術移轉方式，即由財團法人、國營事業或政府研究機構將其開發之技術擴散至民間企業之一種單向移轉（政府移轉民間）。

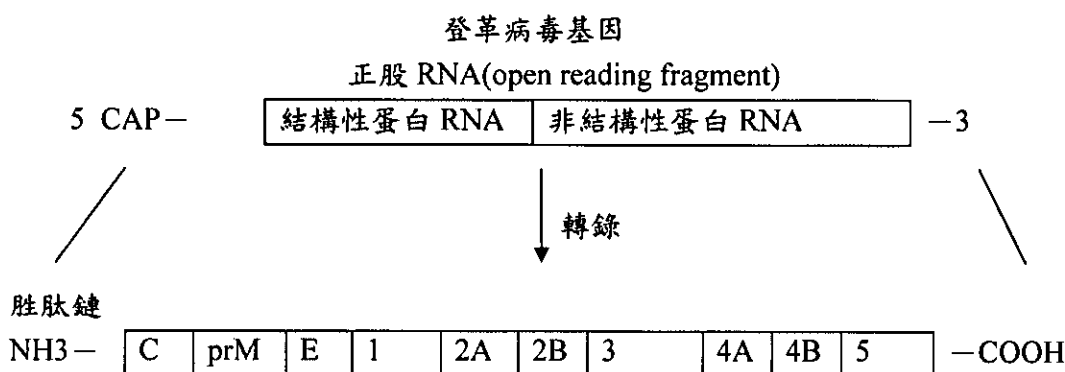
技術創新：指研究執行中產生的技術，且有詳實技術資料文件者。

1. 前言與背景分析

登革病毒(Dengue virus)分類上屬於黃質病毒科(Flaviviridae)中黃質病毒屬(Flavivirus)內的登革病毒亞屬，共分四個血清型，廣泛分布於包括菲律賓、中國、越南、印尼、斯里蘭卡、千里達與哥倫比亞等二十餘個亞熱帶、熱帶國家，主要傳染媒介為白線斑蚊與埃及斑蚊。台灣曾於1915、1931、1942、2002年爆發四次嚴重的登革熱大流行，其中尤以1942年為最，估計約80%人口罹患，至今每年夏秋兩季仍有輕重不等的疫情傳出。典型原發性登革熱症狀劇烈，雖然致死率<1%，但不同血清型交叉感染衍生的登革出血熱(Dengue hemorrhagic fever, DHF)或登革休克症候群(Dengue shock syndrome, DSS)則有驚人的15~50%死亡率，實為台灣地區民眾健康的一大威脅。根據國外流行病學的統計顯示，登革熱的擴散與發生機率，會隨著居住人口稠密度與病媒蚊的密度而提高。台灣近年來都會區擴大，人口稠密度上升，但是環境衛生並未跟上人口與經濟發展的腳步，因此每逢雨季病媒蚊的孳生源(積水容器)就會大幅增加，使得病媒蚊大量孳生，實有爆發登革熱大流行的隱憂。

在登革病毒感染初期，會出現諸如發燒、頭痛和骨頭疼痛等類似於感冒的症狀，因此容易受病人忽視而延誤就醫，加重病情。甚者在感染未癒期間再度受到感染，引發出血性登革熱，導致死亡。針對這樣的情形，治本的方式是教育民眾自覺，加強環境的衛生與研發有效的疫苗來減少感染的可能。對於已經不幸感染的，希望能夠找到有效的藥物來加以治療，縮短病程或加以治癒。整體而言，目前世界上尚無穩定、安全的疫苗可供防治登革熱，亦無治療藥物。因此若能夠針對登革熱開發出可用的藥物，那麼不論對於台灣或是全世界熱帶地區的民眾，都將是一項極具價值的貢獻。

登革病毒為RNA病毒，遺傳物質是單一的正股RNA(single-stranded RNA, (+) strand)，經轉譯生成一條多蛋白鏈(polyprotein)。如下圖，這條多肽鏈是登革病毒蛋白質的前驅物，經寄主的酵素(signal peptidase)切割後，才具有個別的功能，主要的切割位置分別位於C-prM、prM-E、E-NS1、NS4A-NS4B，切割後生成核蛋白(core protein)、膜蛋白(pre-membrane protein)、套膜蛋白(envelope protein)及其他非結構性蛋白。



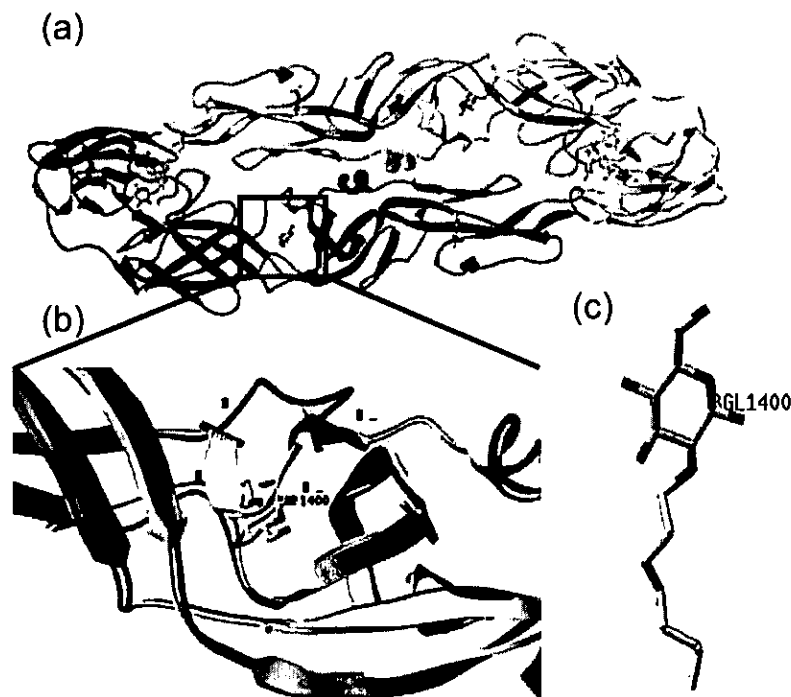
摘自 <http://www.science.mcmaster.ca/Biology/Virology/23/dengue.htm>

登革病毒基因體所轉譯出的非結構性蛋白質 NS3 (nonstructural protein 3)雖不參與病毒套膜的組合過程，但仍與病毒的成熟有相當大的關係。NS3 為一多功蛋白(multifunctional protein)，屬 serine protease 之一種，與非結構性蛋白 NS2B 結合後方具活性及專一性，並共同作用於病毒 RNA 所轉譯出的蛋白質前驅物(polyprotein precursor)使其成熟。另外，NS3

還具有三磷酸腺苷酶(nucleoside triphosphatases)、解螺旋酶(helicases)、五端 RNA 三磷酸酶(5'-RNA triphosphatase)等功能，前兩者作用於病毒 RNA 複製過程；五端 RNA 三磷酸酶則作用於 RNA 複製後，在五端的部位加上 cap，使 RNA 結構穩定而不會被分解。這三種功能皆於病毒 RNA 成熟過程中扮演相當重要的角色。而且 NS3 的結構已被解出，我們可利用結構上的資訊發展可能的抑制劑，以治療登革熱或其他相關疾病[3, 4]。

登革病毒的套膜蛋白(envelope protein)亦為一可能的藥物標的蛋白質。此蛋白質為構成病毒外殼的主要蛋白，是主要的抗原決定部位，宿主的免疫系統即針對此蛋白質產生抗體。目前研究顯示，virus-antibody complex 進入細胞的能力遠高於單獨存在的病毒，這亦是不同血清型登革熱交叉感染後會引發登革出血熱的可能機制之一。此蛋白質目前已有兩個

X-ray 結晶結構，分別是 1OAM 及 1OAN，其中 1OAM 為化合物與套膜蛋白共同結晶，此化合物為 n-octyl- β -D-glucoside(β -OG)，它會穩定地結合在胺基酸序列 262-280 所形成的忌水性凹槽中，將 kl loop 撑開，形成 open form；1OAN 則沒有化合物的結晶在凹槽內，kl loop 會擋住凹槽的開口，並轉換成 kl sheet，形成 close form。登革病毒進入細胞前，尚未經過酸性環



境的刺激，套膜蛋白為 close form，進入細胞之後，經過低 pH 值的刺激，套膜蛋白會轉變成 open form，下一步則會與微粒體的膜進行融合的作用，將 RNA 釋放到細胞質中。 β -OG 與凹槽的結合會影響套膜蛋白結構的轉變，可能可抑制套膜蛋白與微粒體間的融合作用。另外，當這個凹槽內的某些胺基酸發生點突變時，包括 Gln52、Phe193、Lys204、Thr268、Ile270、Leu277、Gly275、Leu277 及 Phe279，會使得套膜蛋白的結構更加穩定(close form)，此時則需要更低的 pH 值才會引起套膜蛋白的結構發生改變，才會發生融合的作用。由此可知，kl loop 確實是影響套膜蛋白結構的重要區域，若能針對此結合區域(binding site)設計潛在的抑制劑，則極有可能達到抑制登革病毒的目的。套膜蛋白結構如圖所示：(a)登革病毒套膜蛋白(1OAM)，由兩條 chain 組成；(b) kl loop 的局部放大，藍色為 1OAM 的結構(open form)，淡黃色為 1OAN 的結構(close form)；(c) n-octyl- β -D-glucoside 之結構[5]。

開發能有效治療登革熱的藥物，對於現階段國人的醫療保健極為重要。本計畫蒐集目

前已知結構的登革病毒蛋白，結合網路上可供搜索的藥物分子資料庫，利用本實驗室已開發出來的軟體，可快速並準確地尋找可能與登革病毒蛋白質結合的藥物，並配合生體實驗確認藥物的藥效及副作用，相信有可能發展出可治療登革熱的藥物，有利於我國民眾健康。傳統開發藥物的方法耗費大量時間與金錢，發展一種新藥平均約需十二年，其成本約為 4.5 億美金(超過一百億新台幣)，如此耗時及高成本的發展方法，無法滿足人類對抗疾病所需新藥的需求。幸運地，因人類基因體計畫及合理化藥物設計的發展，預期可縮短藥物開發時間及降低其開發成本，提供新藥開發的契機。

合理化藥物設計的核心技術乃是 ligand-protein docking 及 ligand-protein inverse docking 兩者。整合此兩者的工具是現代藥物發展的關鍵技術之一，此整合技術可應用於辨識潛在藥物，預測這些藥物的副作用以及毒性，因此在藥物發展的初期可作為低成本、快速度藥物測試的技術。Ligand-protein docking 技術的中心概念在於通過電腦高速運算，由已知立體構形 (conformation) 的彈性配體 (flexible ligand) 與蛋白質巨分子兩者來預測其 ligand-protein 複合體 (complex) 的結構。Docking process 以分子間交互作用能量的極小化 (minimizing) 為依歸。近年來由於高解析度的蛋白質結構較早年易於取得，以及 docking process 可藉由電腦模擬 (computer-based simulation) 進行全自動化演算之故，Ligand-protein docking 技術愈來愈受重視，應用範圍亦愈加廣泛。此技術可用於篩選或設計能與蛋白質上特定位置達成良好的結構上與化學上互補 (complementarity) 的 ligand，此即能幫助我們尋得具備藥物潛力的小分子物質。而過去的研究顯示，ligand-protein docking 程式所預測的 ligand-protein complex 構形實際上已相當接近實驗所得的 complex 真實結晶結構。

Ligand-protein inverse docking 技術應用於藥物開發初期，可以低成本且快速地預測藥物的可能副作用 (side effect) 以及毒性 (toxicity)，因之可大幅縮減後續的生體實驗以及藥物毒性測試的時間及金錢開銷。Ligand-protein inverse docking 技術的觀念在於搜尋可與單一 ligand 結合的多個蛋白質，與 ligand-protein docking 著重由單一蛋白質尋找可與該蛋白質結合的多個 ligands 恰好相反，而依照該 ligand 可與哪些蛋白質標的 (protein target) 結合，結合力強或弱，我們即可依之推測該藥物可能產生的副作用或毒性。

簡言之，Ligand-protein docking 就是以蛋白質活性區域與 ligand 的化學互補交互作用來辨識候選藥物 (candidate)，而 ligand-protein inverse docking 也是以交互作用為基準來辨識候選藥物對酵素或蛋白質的副作用以及毒性。綜上所述此整合工具有四項潛在功能：一、快速篩選潛在藥物；二、確認該藥物 (或天然物) 針對的目標 (target)，包含目前未知及次級 (secondary) 的 targets；三、預測該藥物可能造成的副作用及毒性；四、預測該藥物對生化反應途徑的可能干擾。

2. 研究目的與執行成果概要

Figure 3-1 所示為整個藥物開發系統的流程，包含了一套系統化的藥物搜尋步驟，其中涵蓋快速 ligand-protein docking(ligand 為剛體)、flexible ligand docking、及潛力藥物最佳化(ligand optimization)，此步驟以 ligand-protein inverse docking 技術為之，意在取得藥效最大，副作用及毒性最小的 ligands)，並可與傳統的藥物開發方式互補，組成一個更完善的藥物開發體系，可以有效地縮短臨床實驗所需的時間與經費。本計畫的研究目的在於發展一個能預測前導藥物(lead compound)的雛形系統，此系統應用 flexible ligand-protein docking 的核心技術，計算 ligand 可與 protein 結合的最佳位置，希望能準確地預測可能的前導藥物，以提供臨床實驗參考。在軟體的發展方面，已成功地利用高斯演化方法(Gauss Evolutionary Method; GEMDOCK)發展自動化高速藥物篩選，目前已有初步成果，在預測已知結構之 protein-ligand docking 的 112 個預測結果中，計有 90 個的 $\text{RMSD} \leq 2.0 \text{ \AA}$ 。另外在篩選藥物資料庫方面，將 GEMDOCK 應用於 TK (thymidine kinase) 上，已知 PDB 中與 TK 共同結晶的 ligand 有 10 個，再加上由藥物資料庫中隨機篩選的 1,045 個化合物，根據 docking 計算所得的分數做排序，排名前 5% 化合物中，有 10 個已知 PDB ligand 中的 9 個，尋回(recall)率達到 90%。

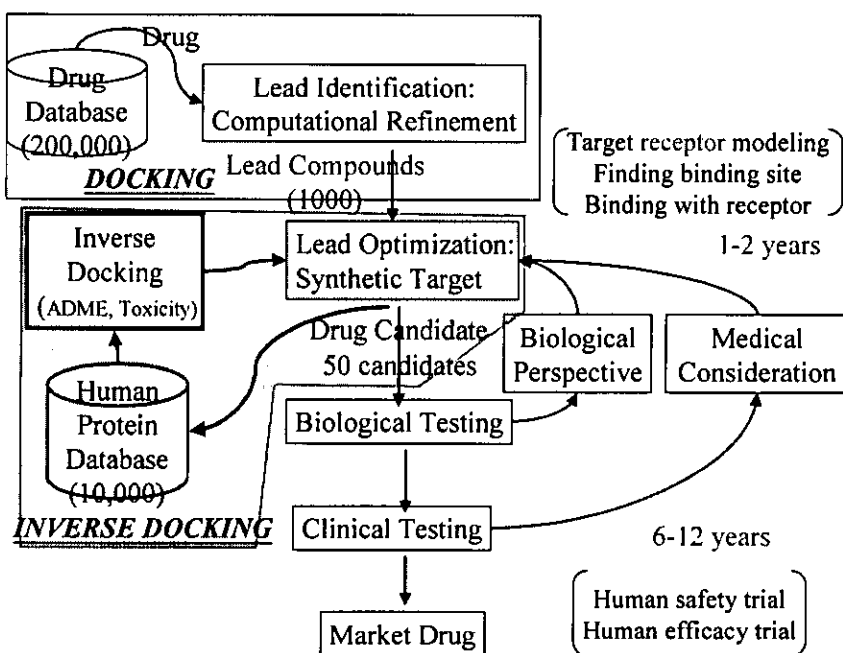


Figure 3-1. The framework of our rational drug design system

在預測登革病毒潛在抑制劑方面，以 DenII NS3 Serine protease 為標的蛋白質，對 CMC(Comprehensive Medicinal Chemistry, 5,742)藥物資料庫及已有結構的蛋白酶抑制劑(protease inhibitor, 280)，共計 6,022 個化合物進行 protein-ligand docking 篩選，並將 docking 的結果分為三群 1. binding site, 2. S1 pocket 及 3. S1 pocket and catalytic triad，預測可能的前導藥物(lead compound)。

3. 研究方法

如 Figure 3-1 所示，研究方法主要有三個步驟 1. 準備 Docking 知識庫 2. 執行 Docking 工具庫 3. 分析 Docking 的結果及數據，分述如後：

1. 準備 Docking 知識庫：

(1) 藥物資料庫(drug database)：

- a. CMC (Comprehensive Medicinal Chemistry)為藥物化合物資料庫，截至目前為止共收錄 7,937 筆化合物資料，內容包括化合物的立體結構、藥物種類、logP 值和 pKa 值等，且每年會依據美國藥典(the US Pharmacopoeia)認可的藥物名稱(USAN, the United States Approved Names)作更新。由 CMC 資料庫中截取分子量 200 到 750 之間的化合物來進行 docking，共計 5,742 個結構。
- b. 從蛋白質結構的資料庫 (Protein Data Bank) 中，搜尋與蛋白質共同結晶的蛋白酶抑制劑(protease inhibitor)，主要可分為三類，分別是 Aspartate protease、Cysteine protease 及 Serine protease 的抑制劑，共計 280 個可用來 docking 的結構。

(2) 確認標的蛋白與小分子化合物結合的活性區域(binding site)：

本實驗用作 docking 的標的蛋白為 DenII NS3 Serine protease(PDB code: 1DF9)[6]，這個結構是由登革病毒 NS3 protease 和 mung-bean Bowman-Birk inhibitor(MbBBI)共同結晶而成，但是由於 MbBBI 的分子量太大，與 NS3 protease 間的交互作用已屬 protein-protein interaction 範疇，故無法直接以 MbBBI 為 ligand 來做 docking，但卻可以利用 MbBBI 與 protease 間的作用關係，作為決定活性區域及篩選可能抑制劑的參考。如 Figure 3-2，與抑制劑或受質結合的位置位於圖中標示 P2、P1、P1 及 P2 之處，Table 3-1 條列了每個位置重要的胺基酸，及與抑制劑間形成的作用力。在對整個化合物資料庫作篩選時，將以蛋白質上這個位置周圍 10 Å 為半徑的範圍(461 個原子)做為計算的空間，預測化合物與蛋白質最穩定的結合位置。

2. Docking 工具庫：以演化式方法(evolutionary approaches)為核心演算法的 GEMDOCK。

3. Docking 結果及數據分析：排名並分群。

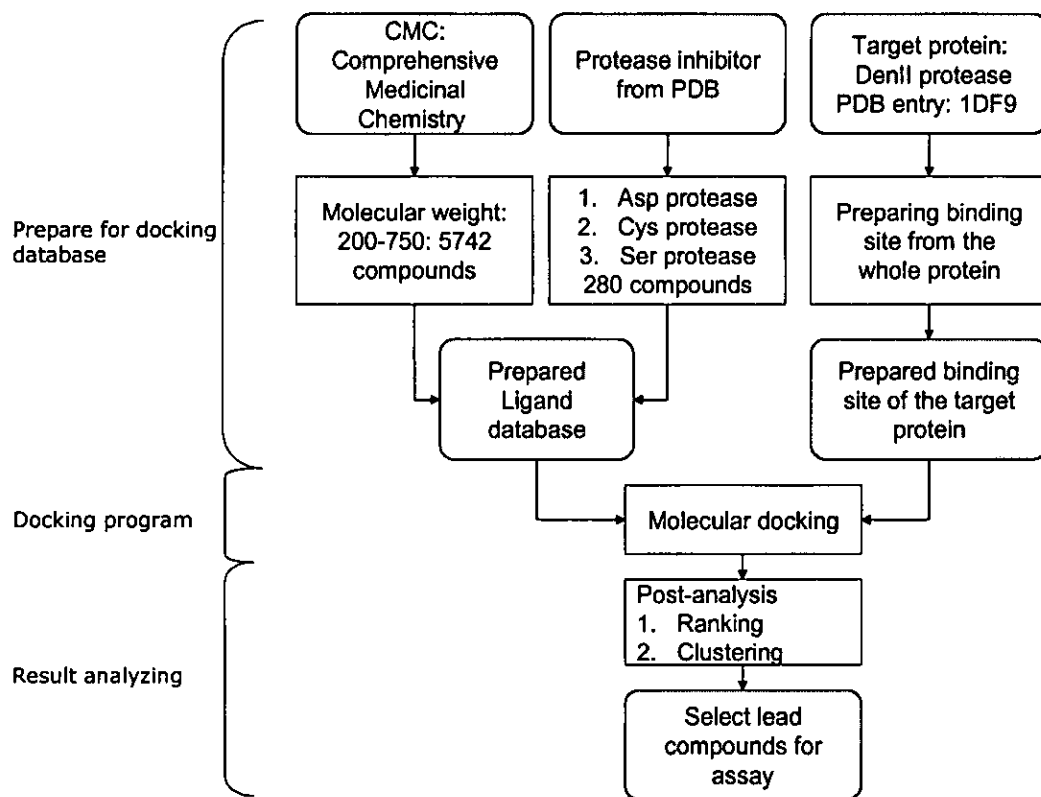


Figure 3-1

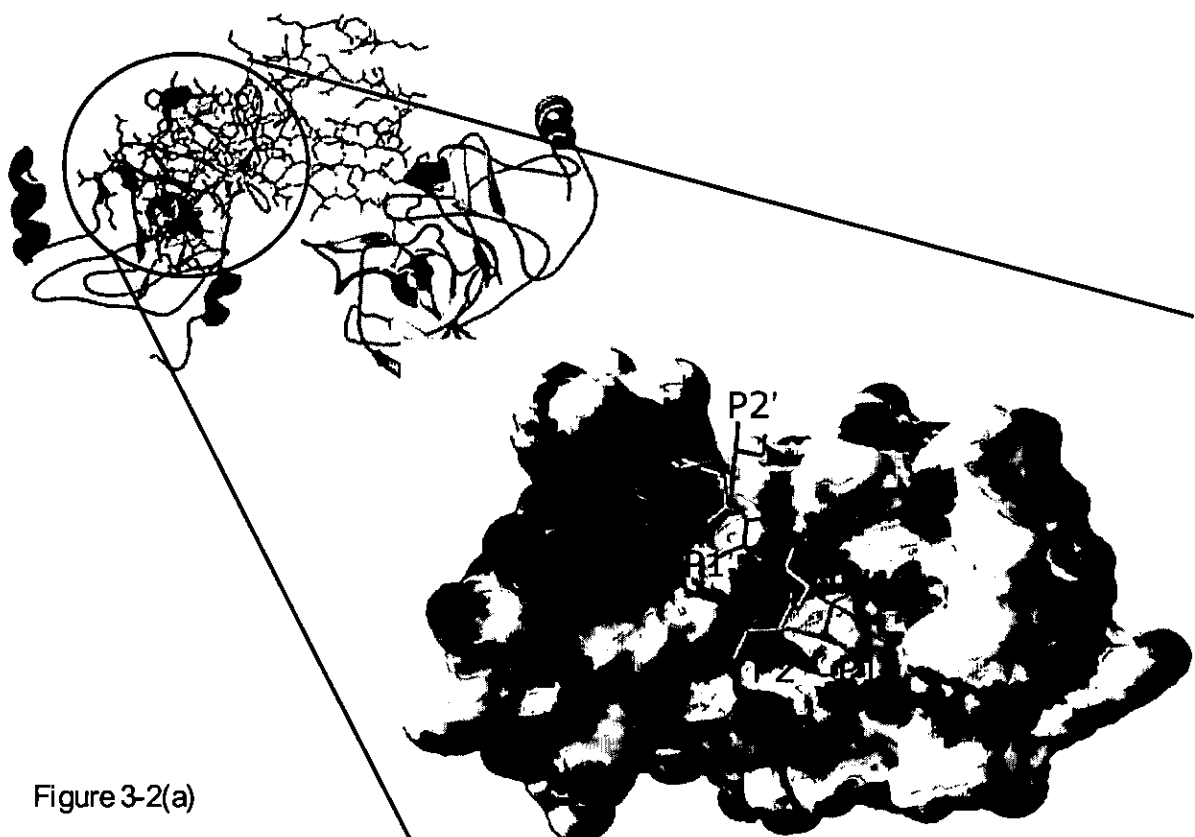


Figure 3-2(a)

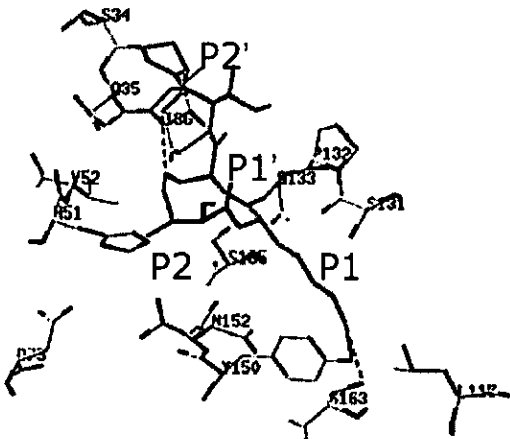


Figure 3-2(b)

Figure 3-2(a)：左圖為 1DF9 完整蛋白質結構，包括 chain A、B，右圖為 chain A 的表面圖，橘色為 MbBBI 的胺基酸片段，其序列为 Thr-Lys-Ser-Ile。

Figure 3-2(b)：活性區域與抑制劑間形成的作用力，綠色虛線為可能形成的氫鍵。

Table 3-1：活性區域的重要胺基酸與抑制劑間的作用關係。

Site	Residue	Binding pocket
P2	Thr	H51(E) ^a , N152(vW)
P1	Lys	L115(vW), S131(E), P132(vW), <u>G133</u> ^b (E), <u>S135</u> (E), Y150(E), <u>G151</u> (E), S163(E)
P1	Ser	I36(vW), H51(E), S135(E), V52(vW)
P2	Ile	S34(vW), Q35(vW), I36(E), P132(vW), G133(vW)

a. 括號內標示的是蛋白質活性區域的胺基酸與抑制劑間形成的作用力，E 為靜電力，包括氫鍵及一般的靜電力，vW 為凡得瓦力。

b. 標有底線者為構成 oxyanion hole 的胺基酸。

4. 結果與討論

以下簡述我們在本計畫達成的具體成果暨在藥物開發領域中研究獲得的相關成果：

4.1 GEMDOCK 應用於預測 protein-ligand docking

我們已利用高斯演化方法(Gauss Evolutionary Method; GEMDOCK)發展自動化高速藥物篩選，並已建構完成一通用的電腦輔助藥物快速篩選系統，簡稱為 GEMDOCK，網頁位置為 <http://gemdock.life.nctu.edu.tw>，此系統具備更快且精確描述 ligand-protein interaction 能量變化的計分函式。GEMDOCK 可應用於各種藥物開發平台的前端開發(如 Figure 4-1 所示：綠色為原來 ligand 位置，紅色為預測之 ligand 位置)。此系統可提供 web based 的遠端服務。

在預測的準確度方面，目前已有頗佳的初步成果：Figure 4-2(a)、(b) 為 GEMDOCK 之預測結果，紅色為預測之 ligand 的結構，而白色為原 ligand 之 X-ray 結構；(c)、(d)為 GEMDOCK 針對 112 個 protein-ligand docking 之預測統計結果，預測結果依 RMSD 做分類，在 112 個預測結果中，有 90 個 $\leq 2.0 \text{ \AA}$ ，此意味著預測的 ligand 位置與原來結晶的位置幾乎重合。

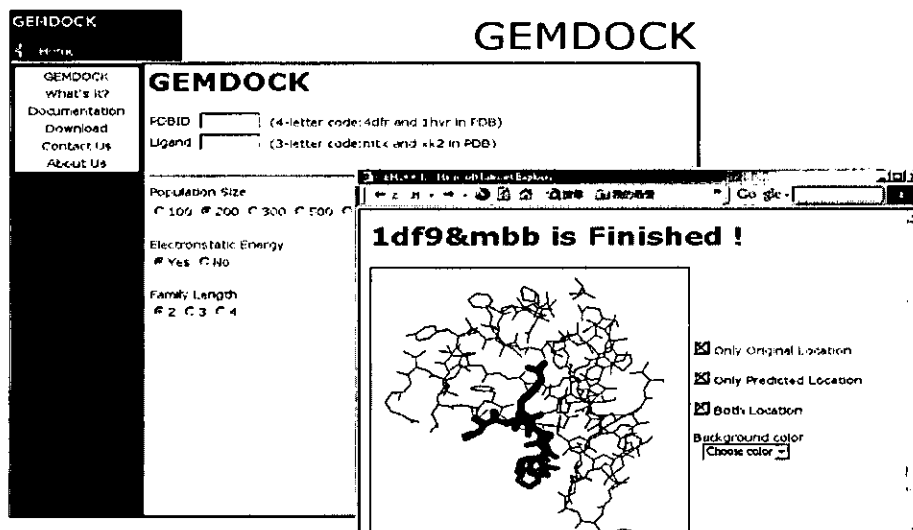
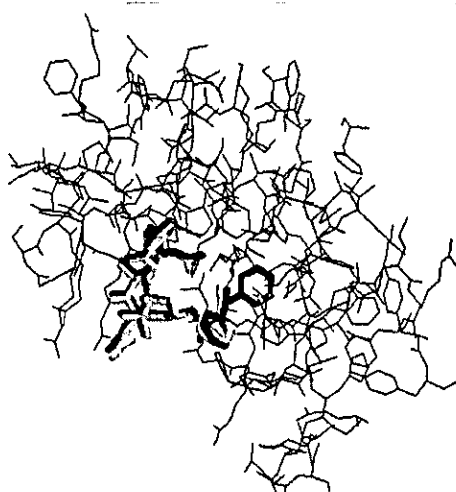


Figure 4-1 : GEMDOCK web based 遠端服務系統圖示

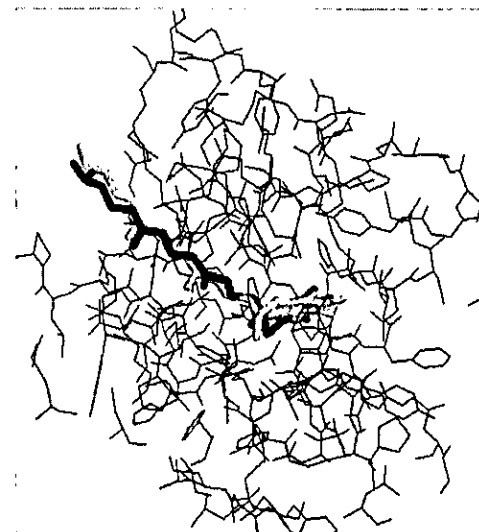
Figure 4-2：快速藥物篩選之初期成果: (a)、(b): GEMDOCK 之預測結果，紅色為預測 Ligand 之結構而白色為原 ligand 之 X-ray 結構；(c)、(d)為 GEMDOCK 對於 112 個 protein-ligand docking 之預測統計結果。



(a) 1jff-TA1

1jff: refine structure of alpha-beta tubulin from zinc-induced.

TA1: avoiding tubulin separation



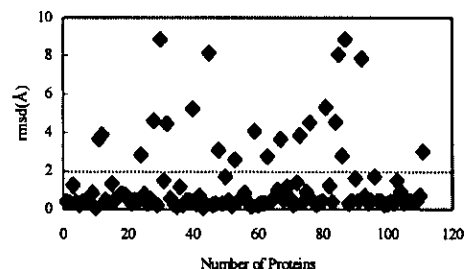
(b) 1fe7/VIT

1fe7: first structural evidence of anti-inflammatory action of vitamin

VIT: Vitamin E

rmsd value between X-ray and predicated structures of Ligand	# of Ligand	Range of # of atoms	Range of # of single bonds
$\leq 0.5 \text{ \AA}$	59	9~62	0~32
$\leq 1.0 \text{ \AA} \text{ and } > 0.5 \text{ \AA}$	20	9~53	0~22
$\leq 1.5 \text{ \AA} \text{ and } > 1.0 \text{ \AA}$	8	6~41	0~24
$\leq 2.0 \text{ \AA} \text{ and } > 1.5 \text{ \AA}$	3	12~44	0~17
$\leq 2.5 \text{ \AA} \text{ and } > 2.0 \text{ \AA}$	0	0	0
$\leq 3.0 \text{ \AA} \text{ and } > 2.5 \text{ \AA}$	5	9~60	0~16
$> 3.0 \text{ \AA}$	17	11~58	0~30
total	112		

(c): 預測結果依 RMSD 做分類，112 個預測結果中有 90 個 $\leq 2.0 \text{ \AA}$



(d): 將(c)之預測結果依 RMSD 繪出，112 個預測結果中有 90 個 $\leq 2.0 \text{ \AA}$

4.2 GEMDOCK 應用於篩選藥物資料庫

將 GEMDOCK 應用於藥物資料庫的篩選上，以 TK(thymidine kinase)為標的蛋白(PDB code: 1KIM)[7, 8]，已知 PDB 中與 TK 共同結晶的 ligand 有 10 個(Figure 4-3)，再由藥物資料庫中隨機挑選出 1,045 個化合物(分子量 200-750 間)，以 GEMDOCK 預測這 1,055 個化合物與標的蛋白結合的位置，並計算與標的蛋白結合的能量，以此能量由低到高排序，能量越低則表示此化合物與蛋白質間的結合越穩定，如 Figure 4-4。結果在排名前 5%的化合物中，已知的 10 個 PDB ligand 出現了 9 個。將前 5%的化合物(共 50 個)區分為三群：1. real ligand (9 個)，2. purine analog (26 個)，3. pyrimidine analog (15 個)，這三群均為核苷酸的相似物，可見 GEMDOCK 能有效地自 1,055 個化合物中篩選出真正會與 TK 結合的小分子，及與其結構相似的其他化合物。

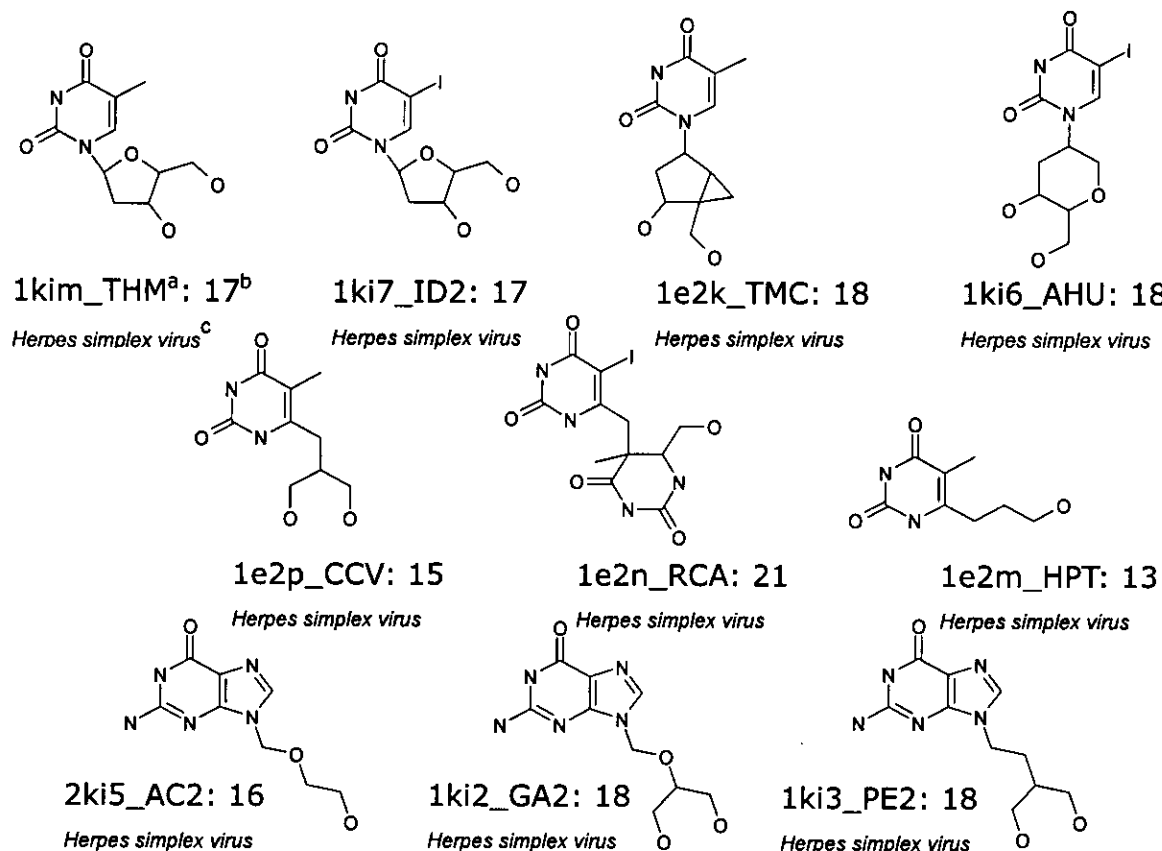


Figure 4-3 : PDB 中與 thymidine kinase 共同結晶的 10 個 ligand

- a. PDB code_ligand name
- b. Atom number
- c. source

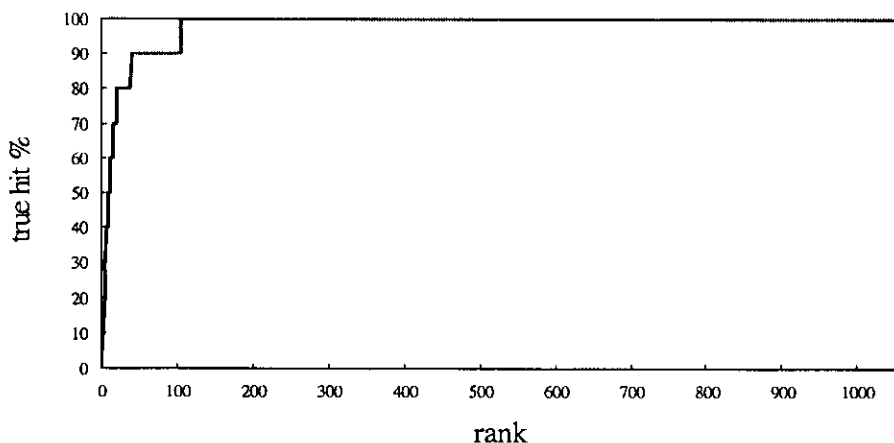


Figure 4-4：依 GEMDOCK 計算出的能量做排序，結果在前 100 名內即找到所有已知會與 TK 結合的 ligand。

4.3 GEMDOCK 應用於 DenII NS3 serine protease 及 SARS coronavirus 3C-like protease

將 GEMDOCK 實際用於發展登革病毒蛋白水解酶 (PDB Code: 1BEF, 1DF9)抑制劑快速篩選之專屬系統，此系統會針對這類蛋白水解酶的重要胺基酸，如活性區域中的 Ser 135、Asp 75、His 51(catalytic triad)等(詳見 Table 4-1 及 Figure 4-5)，這些胺基酸會與潛在的抑制劑間形成作用力，如靜電力、氫鍵(H)及凡得瓦力(vW)等，系統會自動偵測並加重其權重，以提昇藥物快速篩選系統的專一性及正確性。Table 4-1 為以 substrate 的片段(序列: KRSW)做為模擬的化合物做嵌合預測的結果。

Table 4-1：登革病毒蛋白水解酶活性區域的重要胺基酸與受質間的作用關係

Site	Substrate (1BEF)	Specific residues of 1BEF
P2	LYS	H51, D75, G151(H), N152(H), G153(H)
P1	ARG	L115(vW), S131, S135(H), G136, Y150, S163
P1'	SER	Q35(H), I36(H), H51, V52, S135
P2'	TRP	Q35(H), I36(H), P132, G133(H)

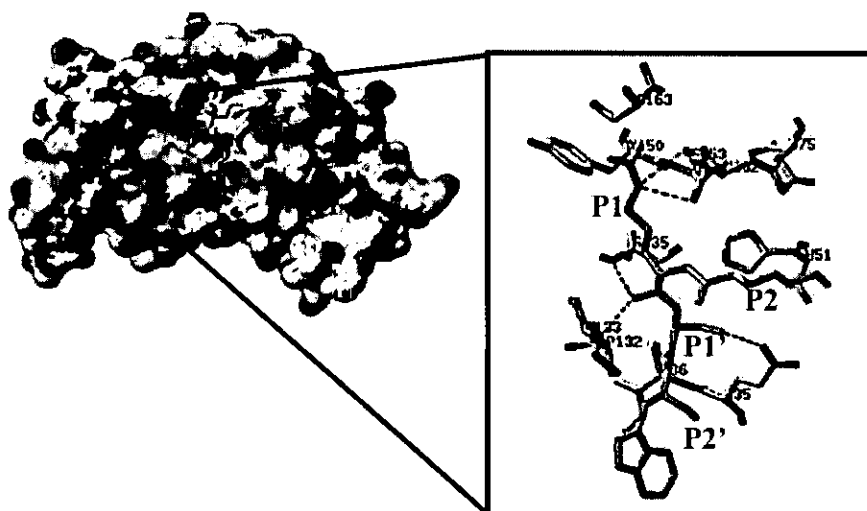


Figure 4-5：登革病毒 NS3 蛋白水解酶與受質之交互作用示意圖

我們也將第一項之工具實際用於發展 SARS coronavirus 3C-like protease 抑制劑快速篩選之專屬系統，在 SARS 的實際成果如下：

- 已初步成功證實本實驗室發展之 docking 工具 GEMDOCK 可應用於 SARS coronavirus 同一 Family 之 3C-like proteases (1P9U, 1P9S) 之 docking 模擬。
- 成功以 Homology Model 及分子模擬方法 modeling SARS 3CL^{pro}。此蛋白質模擬結構已登錄在 PDB，其 code 為 1Q1X，經與嗣後發表的結晶結構 (1Q2W) 比較後證實兩者甚為相似 (如 Figure 4-6 所示)，此或可作為本實驗室結構模擬策略正確之一佐證。此電腦模擬結構之最大貢獻在包含一抑制劑分子，較適合應用於藥物篩選。我們的方法共分為五個步驟：1) Pairwise Sequence Alignment and Multiple Sequence Alignment, 2) Homology Modeling, 3) Multiple Structure Alignment, 4) Binding site modeling, and 5) Docking evaluations。
- 我們已利用 3CL^{pro} 切割蛋白鏈後的殘剩 peptide fragment (VNSTLQ 與 TSAVLQ) 及 AG7088 (用於治療 rhinovirus 引起的感冒症狀，已進入臨床實驗) 作為基礎，其 docking 結果如 Figure 4-7 所示，印證了我們工具之正確性。本實驗室亦規劃將來發展 SARS 3CL^{pro} 專屬抑制劑篩選系統。

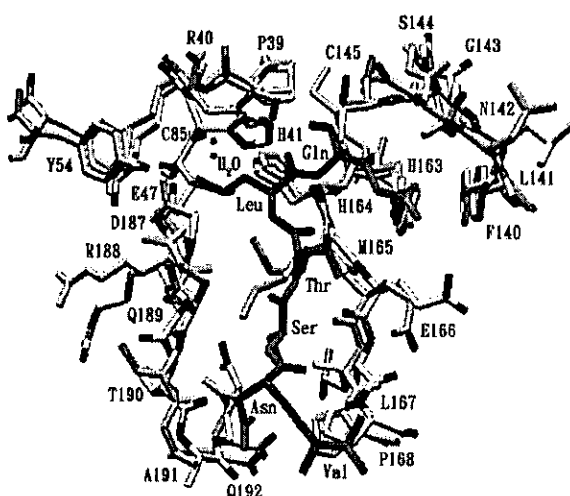


Figure 4-6

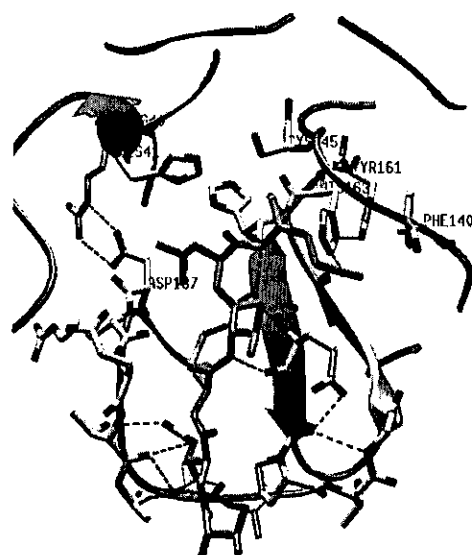


Figure 4-7

Figure 4-6 & Figure 4-7：本實驗室電腦模擬之蛋白質結構 (1Q1X) 與結晶結構 (1Q2W) 之比較示意圖。經比較後發現兩者在 binding site 區域甚為相似，Figure 4-6 中 CPK 著色部分為 1Q2W，淺藍色者為 1Q1X，peptide VNSTLQ 標示為綠色。Figure 4-7 為電腦模擬預測之 docking result。

4.4 CMC 藥物資料庫的篩選結果

CMC 資料庫全名為 Comprehensive Medicinal Chemistry 資料庫，存放具有生理活性之藥物分子結構與活性數值，目前資料庫內共收集 7,937 個藥物分子資料。我們採用分子量 200-750 之間的藥物分子(共 5,742 個)作為 virtual screening 的標的分子。由 5,742 個分子中取 virtual screening 分數在前 200 名的結構作更進一步之人工分析與分類，希望能夠藉此發現適合與 Den11 NS3 Protease 結合之潛在藥物分子，作為進一步實驗分析的依據。



Figure 4-8 : NS3 protease 結合區表面電性分佈圖，
紅色為負電性，藍色為正電性。

Den11 NS3 protease 在 binding site 部分之蛋白質表面具有大量負電性區域(如 Figure 4-8 所示，圖中分子為編號 MFCD00006589 之化合物用以標示 Substrate recognition site 1 位置。中央凹槽部分即為 Den11 NS3 protease 之 binding site)，此外在 Substrate recognition site 1 處為一穿透蛋白質分子表面之隧道，而非一般認為之洞穴型構造。此種蛋白質特性會相當程度地影響 virtual screening 之排名與結果。

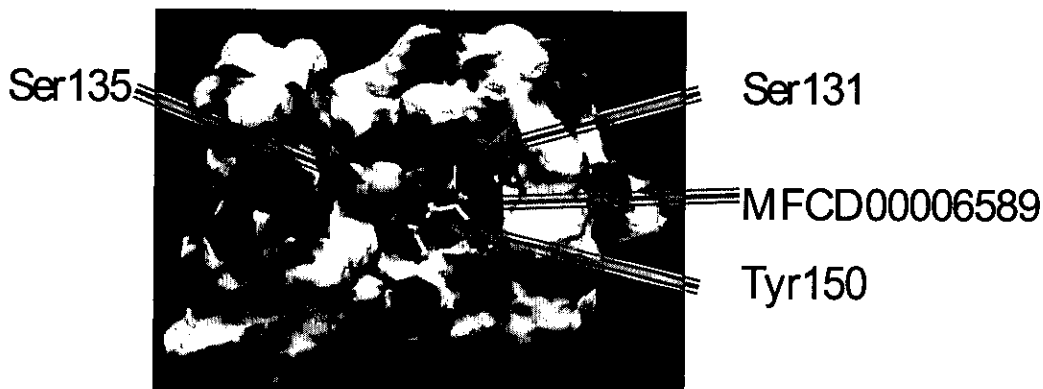


Figure 4-9 : NS3 protease 重要位置之胺基酸的凡得瓦表面分色標示 Catalytic triad(黃色, Ser165)與 Substrate recognition site 1(綠色, Ser131、Tyr150) 之位置。

我們對於 CMC 資料庫對 Dengue Virus NS3 Protease 之 virtual screening 前 200 名之分子分類階層與標準如下所示：

5. 分子與蛋白質嵌合之位置
6. 和蛋白質嵌合之結合作用區
7. 分子基本骨架結構

首先我們先將 docking 結果分為在蛋白質結合區與不在蛋白質結合區兩大類，藉此找出真正與目標區域有交互作用之分子。嗣後再以此分子是位於 Substrate recognition site 1(S1)、Catalytic triad 與 Substrate recognition site 1(S1)或 polypeptide binding site(S2-Sn)三大區域中之何者，做進一步的交互作用力與分子本身大小的分群，希望能夠分析出分子群的共通性，找出能夠產生潛在抑制劑可能之分子群及其共通特性。最後再以分子本身的基本骨架結構做更細部的分群，藉此區分出最能夠和目標產生良好作用的基本骨架作為以後 lead compound 修飾之依據。

Figure 4-10 即為前兩百名之分子分群樹狀圖。圖上之分類階層如上所述，最後一層為分子骨架分群，每一個結構為群代表之結構。S1 pocket 群，是屬於在 Substrate recognition site 1(以下簡稱 S1)者，為位於 S1 但未與 catalytic triad 有交互作用的 docking 結果。此一分群裡的分子又以骨架分為 7 類。歸類於 Catalytic triad 與 S1 群者屬於和 S1 中的胺基酸與 catalytic triad(主要以 Ser135 為準)有交互作用者，此一群共分為 11 類，前 6 類的基本骨架與 S1 群的相同，不同處在於構成化合物骨架的原子特性不同。最後一群則是與整個 binding site 有交互作用者，此一類只有一群，包含六個不同分子。此群的共通處在於均具有長鏈碳鏈，利用長碳鏈與 binding site 的凹槽產生凡得瓦作用力而相互結合。在此三大群中以第二群(Catalytic triad 與 S1)最能夠產生符合 serine protease 抑制劑設計的理想交互作用力與構形。

S1 pocket 群，此群內包含 7 類，如 Figure 4-11 所示。第一類以 METHYSERGIDE (MCMC00001002) 為代表。第二類以 PICLOXYDINE (MCMC00002335) 為代表。第三

類以 NILEPROST (MCMC00004953) 為代表，第四類以 CELIPROLOL (MCMC00004392) 為代表，第五類以 DIETHYL STILBESTROL DIPHOSPHATE (MCMC00001235) 為代表，前五類都是將環的部分 docking 到 S1 的深處，分支的長鏈伸出和 S1 部位重要的胺基酸側鏈做交互作用。這樣的結果和 S1 區域的特性有著密切的關係。第六類以 DEOXYSPERGUALIN (MCMC00005734) 為代表，此一類完全由可動性高的長鏈構成，因此可以穿過 S1 pocket 到另外一邊的表面。

S1 and catalytic triad 群共有 11 類，如 Figure 4-12 所示。前六類與 S1 pocket 群狀況大致相同，不同點在於分支的長鏈上具有可以和 Ser135 形成氫鍵或交互作用的原子。此六類的代表為，FOSQUIDONE (MCMC00006071)、CYNARINE (MCMC00001729)、CEFAZAFUR (MCMC00004475)、SAPERCONAZOLE (MCMC00005779)、GLUCOSULFAMIDE (MCMC00006589)、NISBUTEROL (MCMC00004574)，它們都能夠和 S1 部位的胺基酸形成足夠的穩定力量(以氫鍵或靜電力)，同時和負責催化剪斷 peptide bond 的 Ser135 產生交互作用力或空間上的阻擋，干擾催化的發生。CLINPROST (MCMC00006282)、CEFTEZOLE (MCMC00003420)、TRIMETREXATE (MCMC00004094)、LAURETH 10S (MCMC00002590) 這四類是屬於和 S1 群不同的結構，但是它們 docking 的行為仍然是以環的部分深埋在 S1 部位裡，以極性長鏈分支和 binding site 裡的胺基酸產生氫鍵，構成良好的結合。這樣的結合方式有助於外來分子穩固的停留在 binding site 的特定位置，並且干擾到 catalytic triad 的催化機制運作，讓這一大群的分子較有機會成為潛在抑制劑。尤其以 CEFAZAFUR (MCMC00004475)、GLUCOSULFAMIDE (MCMC00006589)、CEFTEZOLE (MCMC00003420)、TRIMETREXATE (MCMC00004094) 這四類的鍵結方式最為理想。LAURETH 10S (MCMC00002590) 這一類由於是可動性大的長鏈結構，因此產生鍵結的方式與數量變動性較大，所以較不適合作為潛在抑制劑的設計依據。

Whole binding site 群，此群內只有一類，六種分子，均為長鏈狀分子結構，富可動性，這一群的分子均以長碳鏈和 binding site 結合，如 Figure 4-13。但是這樣的結合方式並不能提供穩定而強力的結合作用力，因此此類分子結構並不適合作為我們設計潛在抑制劑的方向。

在分類樹上的另一分支為不在 binding site 的分子，此一分支因為在 docking 位置上均位於 S1 口袋的另外一側，並沒有跟 binding site 的任何重要胺基酸產生作用力，暫不列入分析考量之中。

由 Serine protease 抑制劑的設計概念觀之，良好的抑制劑必須和 binding site 有足夠的結合與辨識能力。此外還必須能夠和 Serine 之 OH 基團產生交互作用，阻斷催化發生。因此在設計抑制劑時首要便是找出有可能和 binding site 的專一性控制區產生影響的分子結構，而後再以此一分子結構作為修飾的基礎，發展新的抑制劑。在我們 docking 的結果分析裡，的確找到具有此種能力之分子與其結構共通特性。這樣的分類與分群結果將可提供後續實驗工作努力的方向。

Compounds of top 200

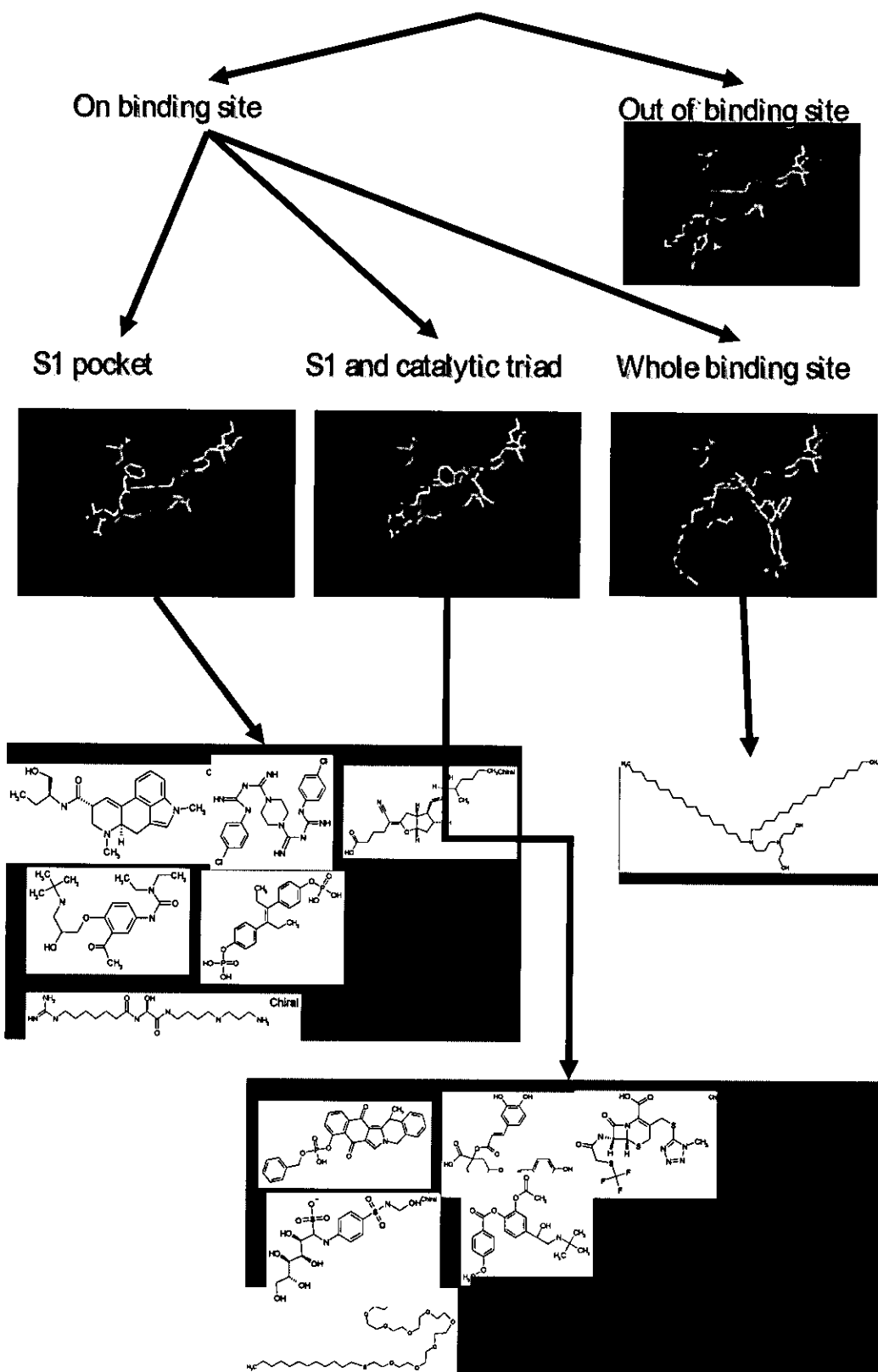


Figure 4-10 : 前兩百名之分子分群樹

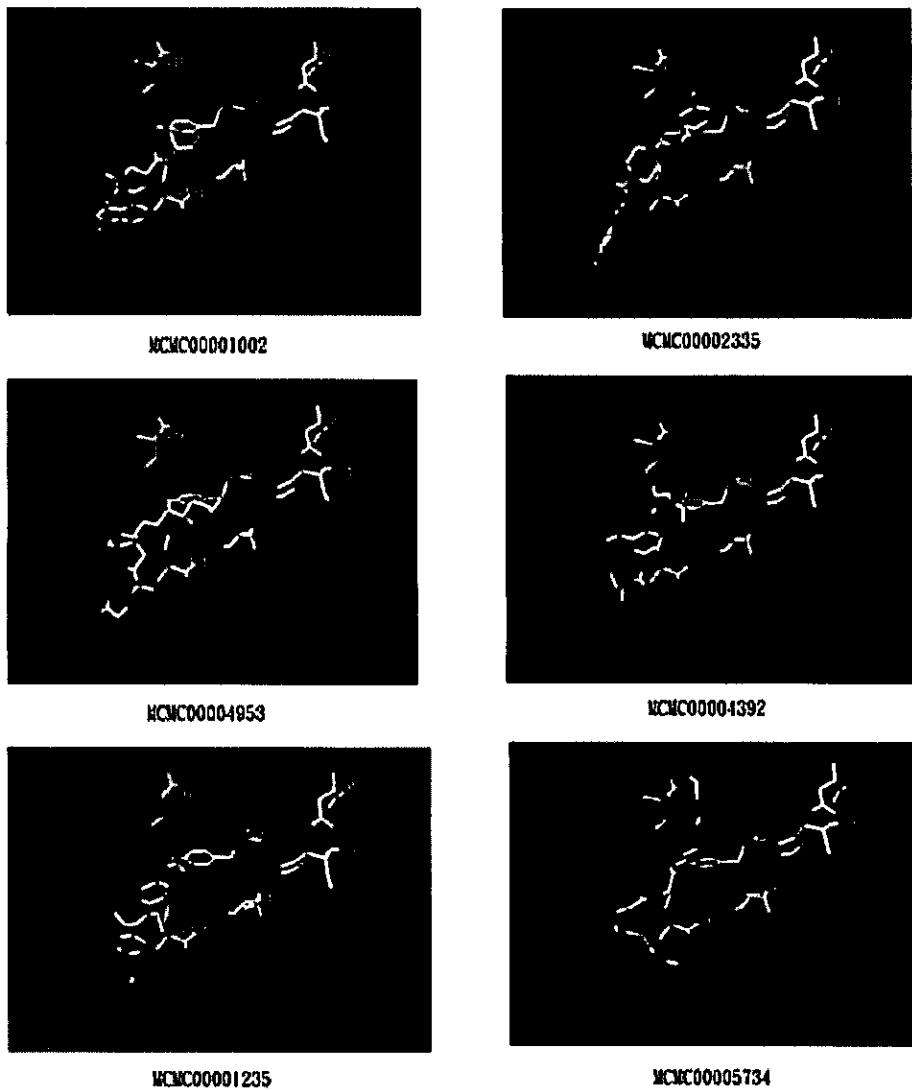


Figure 4-11 : S1 pocket 群，此群內包含 7 類(第 7 類為其他，不在圖中)，圖中所示為每群之代表與結合區交互作用圖。藍色為蛋白質胺基酸，黃色為 catalytic triad，綠色為 S1 pocket 重要胺基酸，CPK 標示者為 docking 結果。

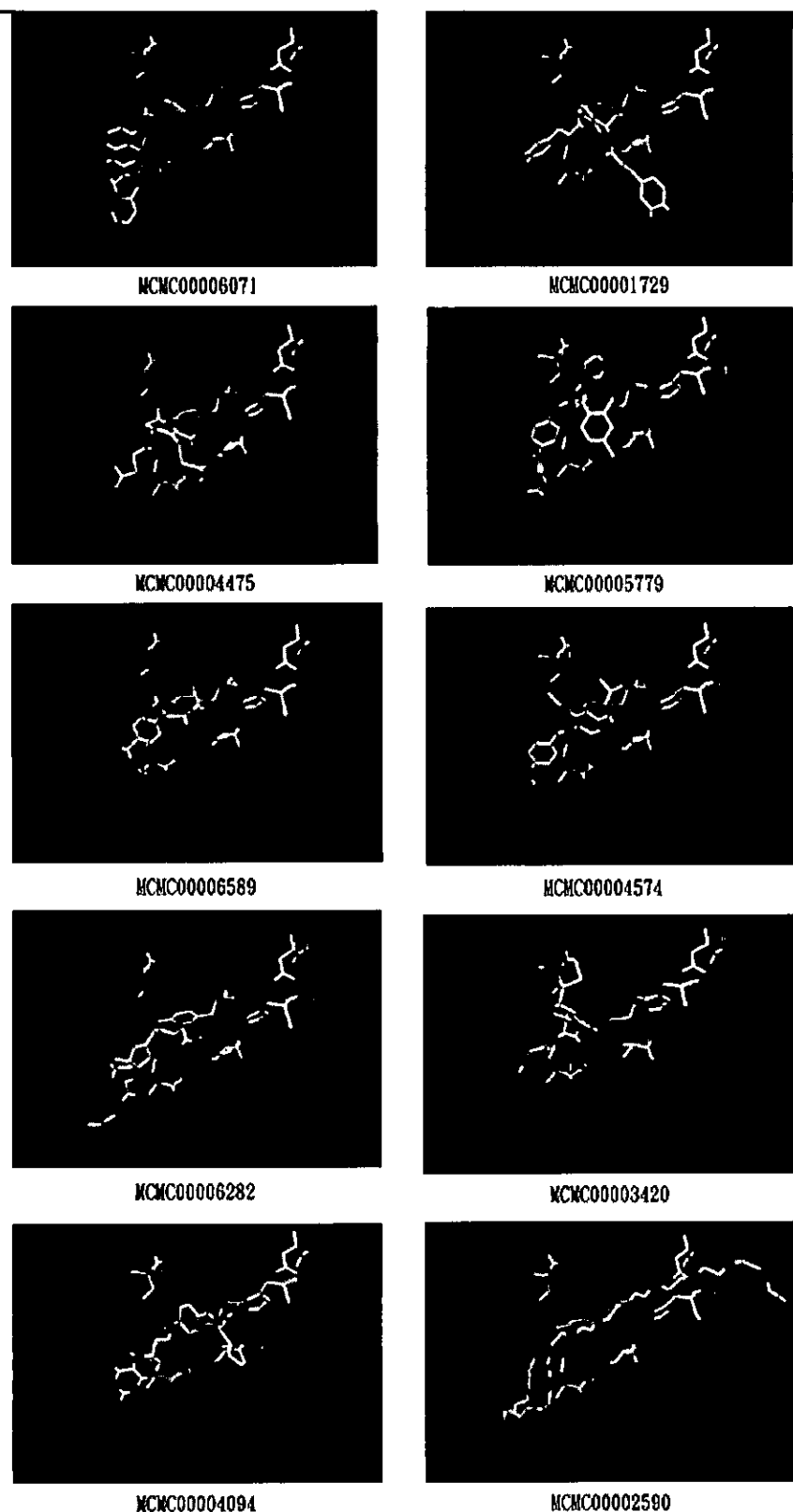


Figure 4-12 S1 and catalytic triad 群共有 11 類(第 11 類為其他，不在圖中)，圖中所示為每群之代表與結合區交互作用圖。藍色為蛋白質胺基酸，黃色為 catalytic triad，綠色為 S1 pocket 重要胺基酸，CPK 標示者為 docking 結果。

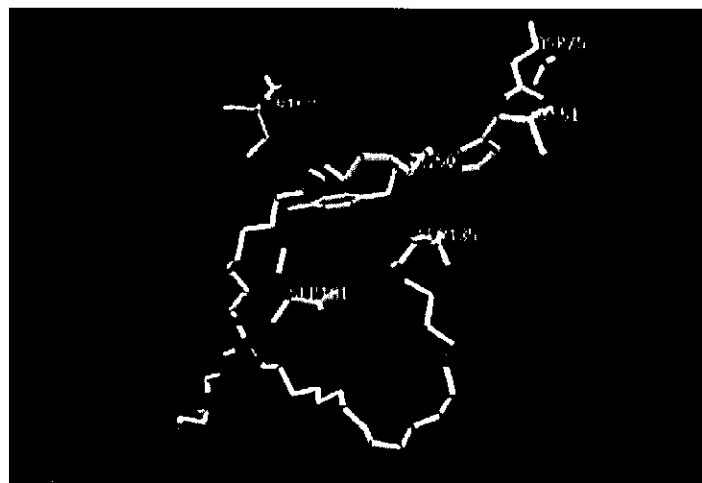
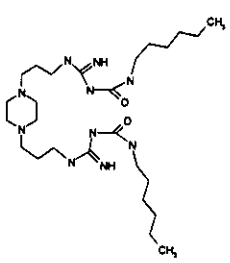
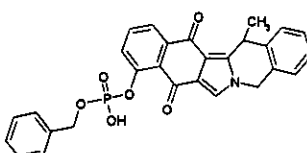
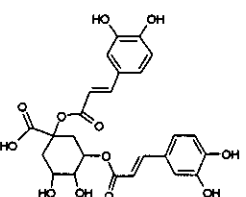
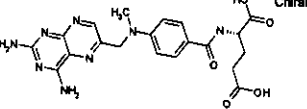
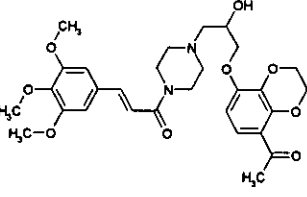
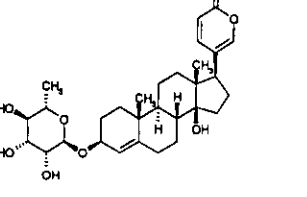


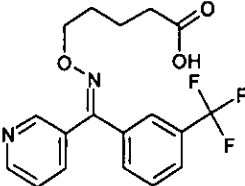
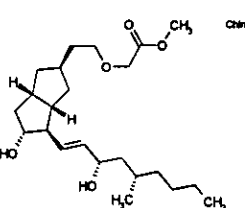
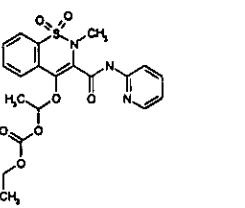
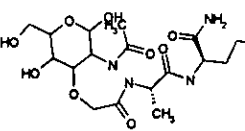
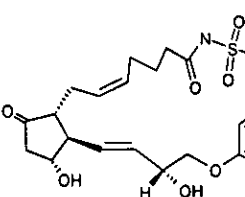
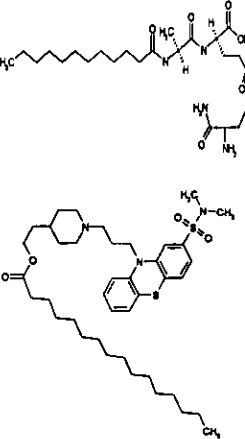
Figure 4-13 Whole binding site 群，此群內只有一類，藍色為蛋白質胺基酸，黃色為 catalytic triad，綠色為 S1 pocket 重要胺基酸，CPK 標示者為 docking 結果。

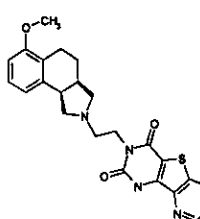
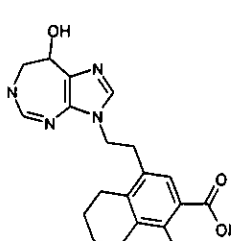
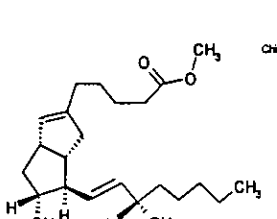
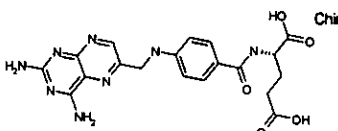
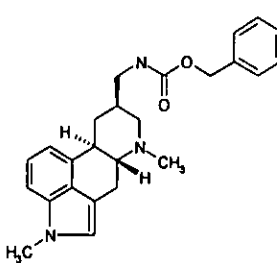
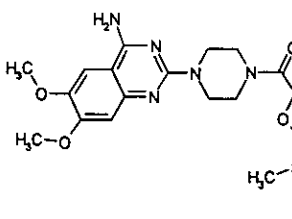
前 200 名化合物一覽表(不包括 docking 在活性區域外的化合物)

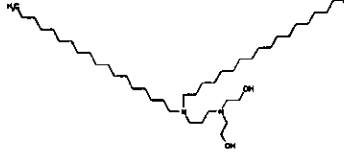
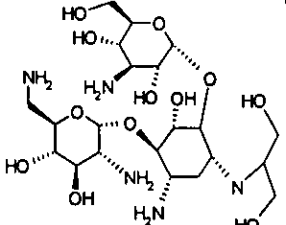
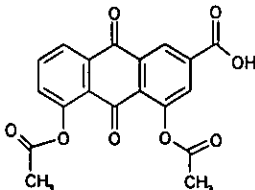
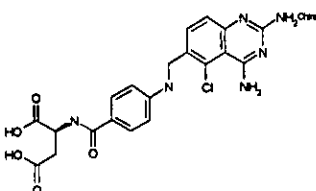
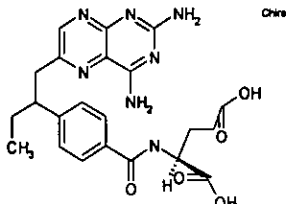
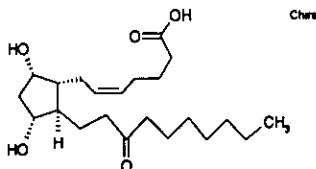
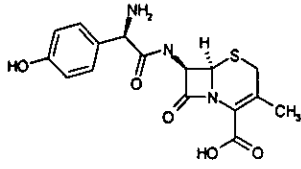
Compound name	Structure	MDL number	Molecular weight	Drug class
TALLIMUSTINE		MCMC00006385	697.63	Antineoplastic
CEFOTIAM		MCMC00004603	525.637	Antibacterial
CEFODIZIME		MCMC00004909	584.677	Antibacterial

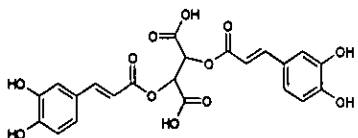
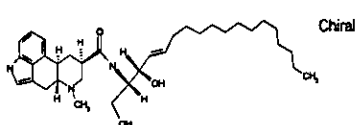
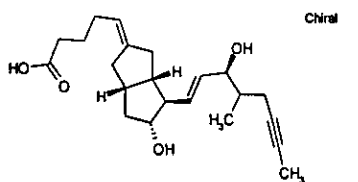
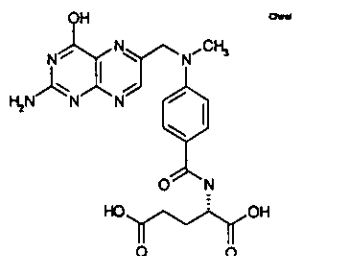
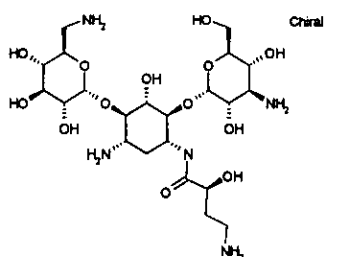
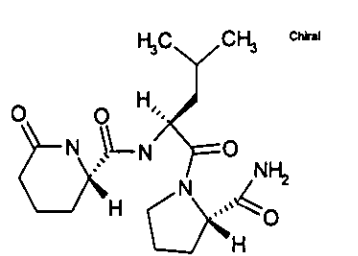
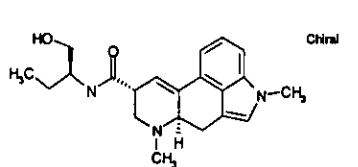
IPEXIDINE		MCMC00004882	538.786	Dental caries prophylactic
FOSQUIDONE		MCMC00006071	499.465	Antineoplastic
CYNARINE		MCMC00001729	516.463	Choleretic
METHOTREXATE		MCMC00006960	454.449	Antineoplastic
CINEPAXADIL		MCMC00004885	556.618	
PROSCILLARIDIN		MCMC00007049	530.664	Cardiotonic
SOBUZOXANE		MCMC00005987	514.537	Antineoplastic

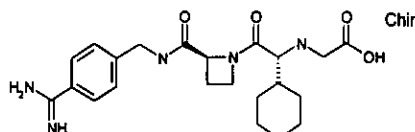
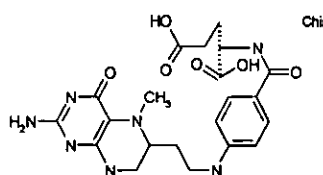
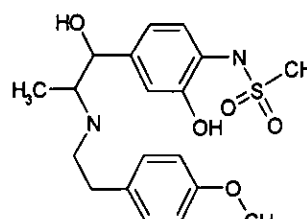
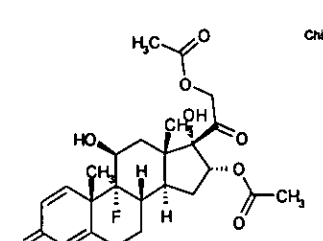
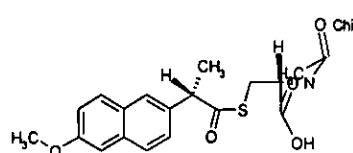
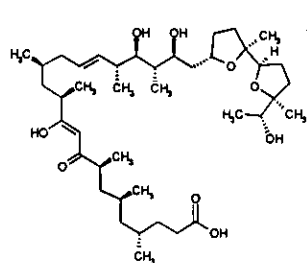
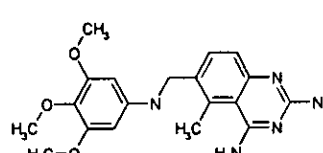
QUINASPAR		MCMC00009899	424.415	Antineoplastic
PIROZADIL		MCMC00004223	527.533	Antihyperlipoproteinemic
ESTRADIOL ENANTHATE		MCMC00002210	384.556	Estrogen
PICLOXYDINE		MCMC00002335	475.387	Disinfectant
LEURUBICIN		MCMC00006250	656.693	Antileukemic
PIMELAUTIDE		MCMC00005207	628.763	Immunostimulant
IRINOTECAN		MCMC00006298	586.694	Antineoplastic

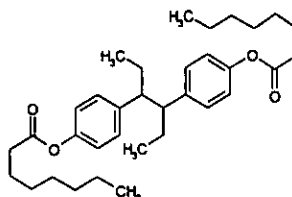
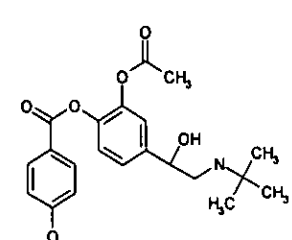
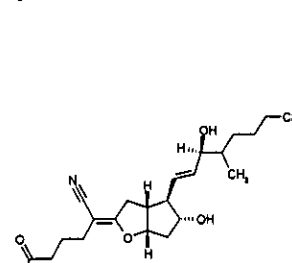
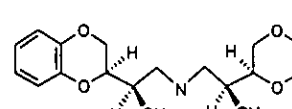
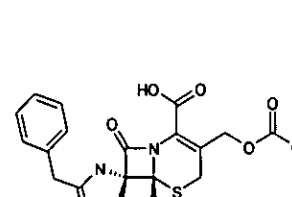
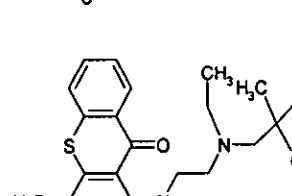
RIDOGREL		MCMC00006042	366.343	Antithrombotic
PIMILPROST		MCMC00007525	396.572	Peripheral vascular disease (therapeutic)
AMPIROXICAM		MCMC00005685	447.47	Antiinflammatory
ALMURTIDE		MCMC00007785	478.452	
SULPROSTONE		MCMC00004555	465.564	Abortifacient
TABILAUTIDE		MCMC00006258	571.72	Immunogenic
PIPOTIAZINE PALMITATE		MCMC00003807	714.0941	Antipsychotic

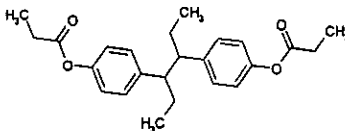
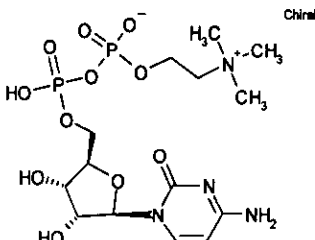
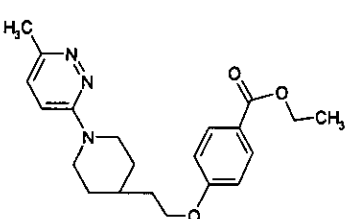
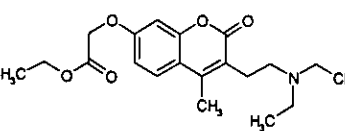
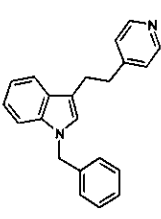
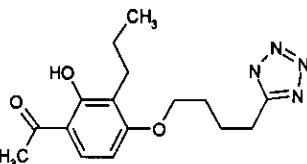
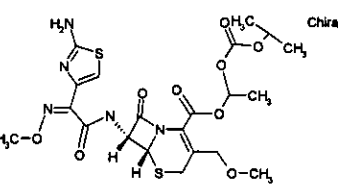
ALPHA-1-A ADRENORECEPTOR ANTAGONIST		Chiral	MCMC00008029	448.545	Antiadrenergic
COFORMYCIN AGLYCON DERIVATIVE-3			MCMC00008060	433.304	AMPDA antagonist
CLINPROST		Chiral	MCMC00006282	364.53	Antithrombotic
AMINOPTERIN			MCMC00006938	440.422	Enzyme inhibitor
METERGOLINE		Chiral	MCMC00007176	403.529	Analgesic
TIODAZOSIN			MCMC00004816	431.477	Antihyperten- sive
SAPERCONAZOLE		Chiral	MCMC00005779	672.733	Antifungal

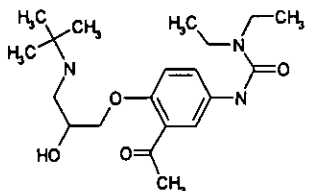
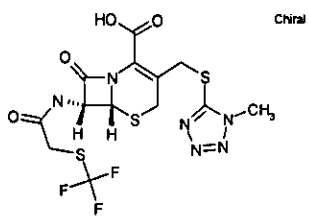
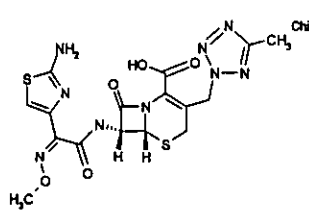
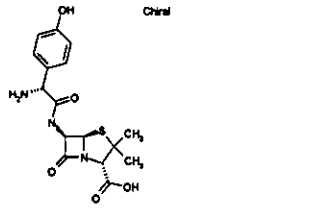
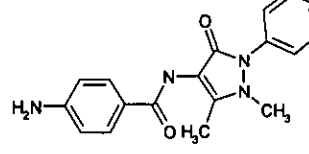
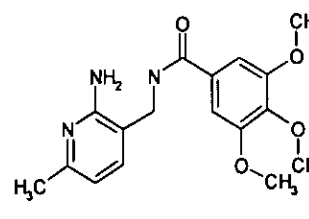
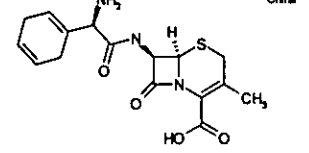
AVRIDINE	MCMC00003735	667.209	Antiviral
			
PROPIKACIN	MCMC00004811	557.5941	Antibacterial
		Chiral	
DIACEREIN	MCMC00002725	368.303	Antiinflammatory
			
FLUORASQUIN	MCMC00009893	458.86	Antineoplastic
			
EDATREXATE	MCMC00005908	467.484	Antineoplastic
		Chiral	
UNOPROSTONE	MCMC00007481	382.545	Antiglaucoma
		Chiral	
CEFADROXIL	MCMC00007231	363.395	Antibacterial
		Chiral	

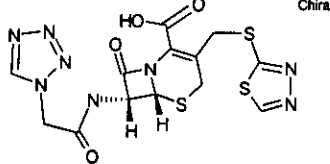
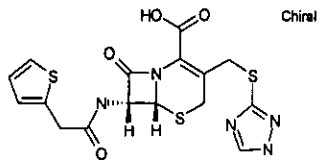
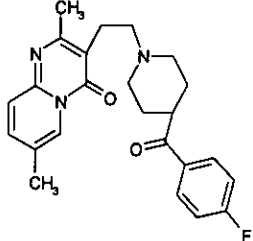
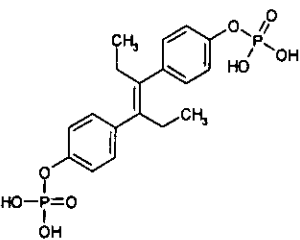
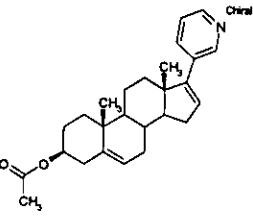
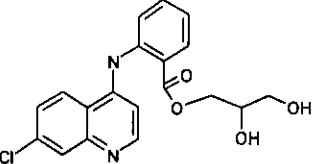
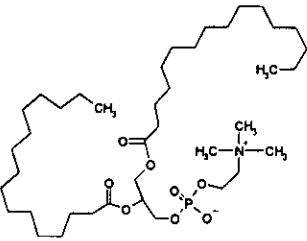
CICHORIC ACID	MCMC00007713	474.372	Antiasthmatic
			
DOSERGOSIDE	MCMC00005494	551.811	
			
ILOPROST	MCMC00005048	360.491	Antihypertensive
			
METHOPTERINE	MCMC00009906	455.429	Antimetabolite
			
AMIKACIN	MCMC00007221	585.604	Antibacterial
			
POSATIRELIN	MCMC00005901	352.432	Anticataleptic
			
METHYSERGIDE	MCMC00001002	353.463	Antimigraine
			

MELAGATRAN	MCMC00007753	429.518	Anticoagulant
			
KETOTREXATE	MCMC00004097	473.487	Antineoplastic
			
MESUPRINE	MCMC00002547	394.493	Muscle relaxant
			
TRIAMCINOLONE DIACETATE	MCMC00006975	478.519	Glucocorticoid
			
CINAPROXEN	MCMC00005541	375.443	
			
IONOMYCIN	MCMC00010295	709.011	Antibiotic
			
TRIMETREXATE	MCMC00004094	369.427	Antineoplastic
			

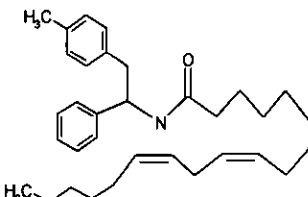
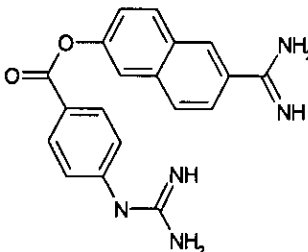
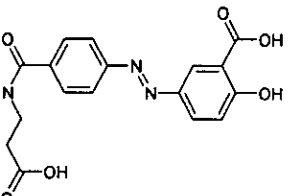
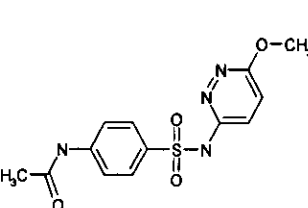
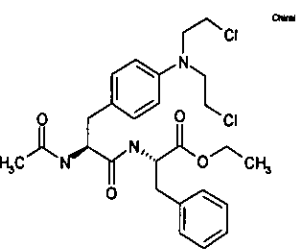
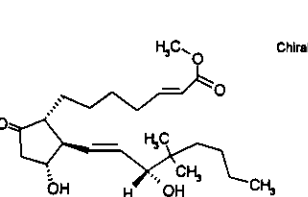
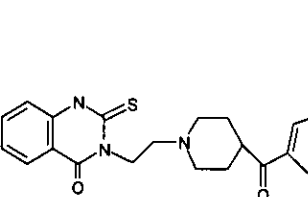
HEXESTROL DICAPRYLATE		MCMC00010262	522.765	Synthetic estrogen
NISBUTEROL		MCMC00004574	401.464	Bronchodilator
NILEPROST		MCMC00004953	391.505	Antihypertensive
BENDACALOL		MCMC00005911	373.403	Antihypertensive
CEFALORAM		MCMC00001497	390.414	Antibacterial
BECANTHONE		MCMC00002852	384.545	Antischistosomal
FOSTRIECIN		MCMC00005511	430.395	Antineoplastic

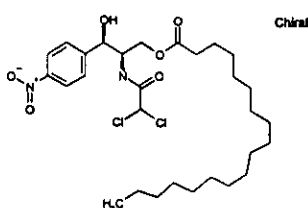
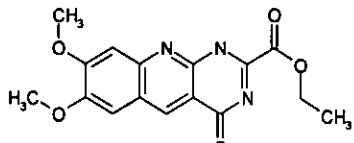
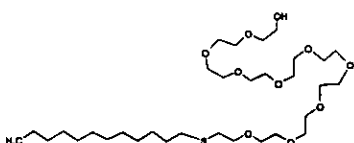
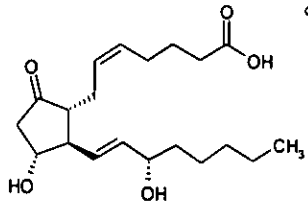
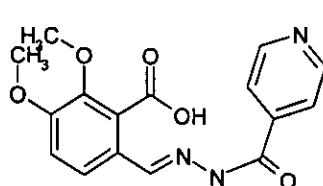
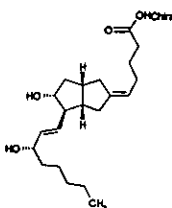
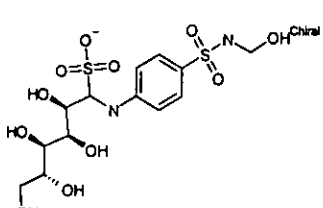
HEXESTROL DIPROPIONATE	MCMC00010123	382.497	Synthetic estrogen
			
CITICOLINE	MCMC00001543	488.324	Cerebral stimulant
			
PIRODAVIR	MCMC00006125	369.468	Antiviral
			
CHROMONAR	MCMC00001470	361.442	Coronary vasodilator
			
BENZINDOPYRINE	MCMC00002963	312.418	Antipsychotic
			
TOMEUKAST	MCMC00005519	318.379	Antiasthmatic
			
CEFPODOXIME PROXETIL	MCMC00005496	557.602	Antibacterial
			

LEFRADAFIBAN		MCMC00007873	439.465	Fibrinogen antagonist
CELIPIROLOL		MCMC00004392	379.504	Antiadrenergic
CEFAZAFLUR		MCMC00004475	470.476	Antibacterial
CEFTERAM		MCMC00005348	479.5	Antibacterial
AMOXICILLIN		MCMC00007203	365.411	Antibacterial
AMINOBENZAMIDO PHENAZONE		MCMC00009775	322.366	Analgesic
TRIMETHAMIDE		MCMC00002364	331.375	
CEPHRADINE		MCMC00007223	349.412	Antibacterial

CEFTEZOLE		MCMC00003420	440.488	Antibacterial
CEFETRIZOLE		MCMC00004736	437.523	Antibacterial
METRENBERONE		MCMC00005296	407.492	Serotonin antagonist
DIETHYLSTILBESTROL DIPHOSPHATE		MCMC00001235	428.319	Estrogen
ABIRATERONE		MCMC00007625	391.552	Antiandrogen
GLAFENINE		MCMC00002091	372.811	Analgesic
COLFOSCERIL PALMITATE		MCMC00006150	734.059	Pulmonary surfactant

NORCORALYDINE		MCMC00009996	355.431	Protoberberine alkaloid
NONOXYNOL 9		MCMC00003375	616.84	Spermatocide
BENFURODIL HEMISUCCINATE		MCMC00001964	358.351	Cardiotonic
QUINCARBATE		MCMC00004234	367.789	Diuretic
KETOCONAZOLE		MCMC00004734	531.4371	Antifungal
CIPROSTENE		MCMC00005326	364.522	Antithrombotic

MOCTAMIDE		MCMC00003518	473.749	Antihyperlipoproteinemic
NAFAMOSTAT		MCMC00005316	347.38	Antiinflammatory
BALSALAZIDE		MCMC00005278	357.326	Antiulcerative-colitis
SULFAMETHOXYPYRIDAZINE ACETYL		MCMC00001992	322.345	Antibacterial
ASAFAN		MCMC00010156	522.47	Antineoplastic
GEMEPROST		MCMC00004697	394.548	Prostaglandin
ALTANSERIN		MCMC00005124	411.502	Serotonin antagonist

DEOXYSPERGUALIN		MCMC00005734	387.525	Antineoplastic
CHLORAMPHENICOL STEARATE		Chiral	MCMC00010216	589.596 Antibiotic
PIROLATE			MCMC00004275	329.315 Antiasthmatic
LAURETH 10S			MCMC00002590	642.941 Spermatocide
DINOPROSTONE		Chiral	MCMC0001007	352.468 Oxytocic
OPINIAZIDE			MCMC00001880	329.315 Antibacterial
CARBACYCLIN			MCMC00010028	350.496 Antithrombotic
GLUCOSULFAMIDE		Chiral	MCMC00006589	445.447

4.5 280 個蛋白水解酶抑制劑的篩選結果

PDB 中有許多 protease 與其抑制劑共同結晶的結構(protein-ligand complex)，這些抑制劑多半是藥物發展過程中的前導藥物，若再經過一些最佳化的動作，即有可能成為正式的商品化藥物。如 aspartate protease 這一類的結晶結構，就有許多包含有目前已用於臨床治療的抗 HIV 藥物，主要的作用即在抑制 HIV aspartate protease 的活性。這一類抑制劑大部分都屬於 peptide drug，模擬原本受質主鏈(backbone)的結構，與活性區域主鏈形成氫鍵，以固定化合物的位置，再以特定的官能基擋住原本會與受質作用的 pocket，以達到抑制的效果。

Dengue NS3 serine protease 亦屬蛋白酶，因此我們假設 protease inhibitor 較有可能成為前導藥物。在這個假設下，由 PDB 中已知的 protease inhibitor 挑選出 280 個化合物結構，與登革病毒的蛋白水解酶進行 docking，分析前 100 名的結果，依 docking 的位置可分為三群：



Figure 4-14

1. 位於 binding site：13 個

如 Figure 4-14，綠色的化合物為 GEMDOCK 預測的結果，其位置擋住了 binding site 原本會與受質結合的位置。



Figure 4-15

2. 位於 S1 pocket：23 個

如 Figure 4-15，GEMDOCK 預測的結果 docking 在 S1 pocket 內，僅與 S1 pocket 內的胺基酸間有交互作用。



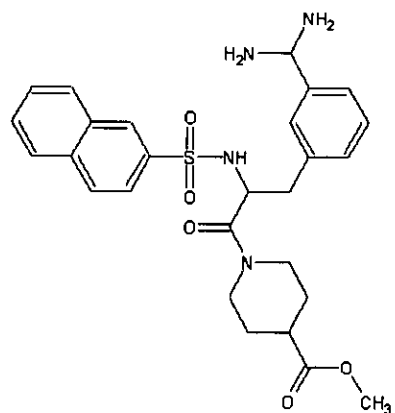
Figure 4-16

3. 位於 S1 pocket 及 catalytic site：13 個如 Figure 4-16，GEMDOCK 預測的化合物位置除了與 S1 pocket 的重要胺基酸有交互作用外，與 catalytic triad (His51, Asp75, Ser135)間也有交互作用。

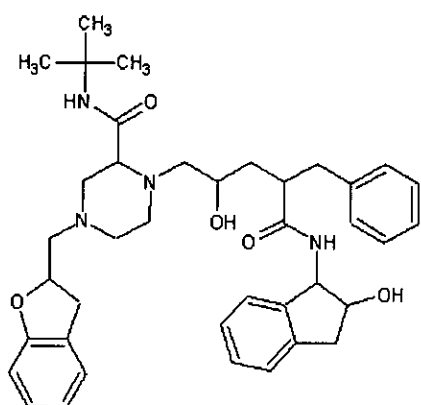
前 100 名的結果中，第一類及第三類較有可能成為前導藥物，因這兩類化合物與蛋白質結合的位置恰好阻擋了受質與活性區域結合的位置，而且這些位置在演化上有高度的保留性，如 catalytic triad : His51、Asp75、Ser135，是受質水解發生的位置；S1 pocket 內的重要胺基酸 : Ser131、Tyr150、Ser163，這幾個胺基酸使得 S1 pocket 具有辨識受質的專一性，皆是維持 NS3 蛋白水解酶功能的重要胺基酸。若是針對這幾個位置設計潛在藥物，有兩個優勢：1. 能確實阻擋受質與蛋白質間的作用關係，2. 因這幾個位置不易發生突變，因此針對這些位置設計的藥物，較不易因病毒的突變而失去效用。除了以上三類之外，其餘的 51 個化合物 docking 的位置均位於活性區域之外，較無成為潛在抑制劑的可能。

前 100 名化合物分群一覽表

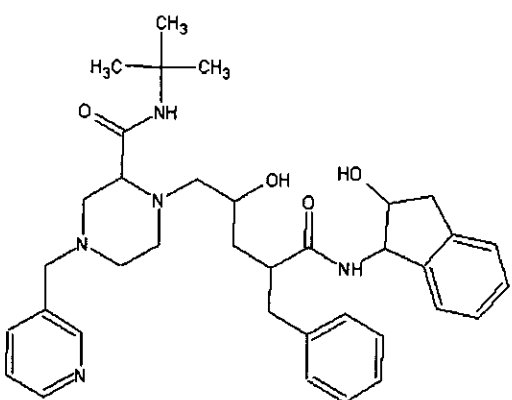
Group 1: in the binding site	PDB code	Description
	1a8g_CBZ	HIV-1 protease in complex with sdz283-91
	1I0D_PPP	Crystal structure of the complex between the coagulation factor x binding protein from snake venom and the gla domain of factor



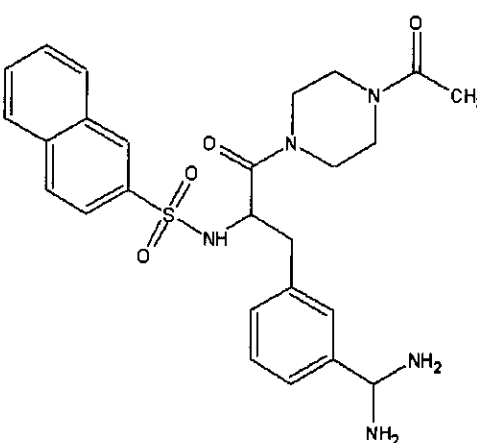
1k1j_FD2 *Bovine trypsin-inhibitor complex*



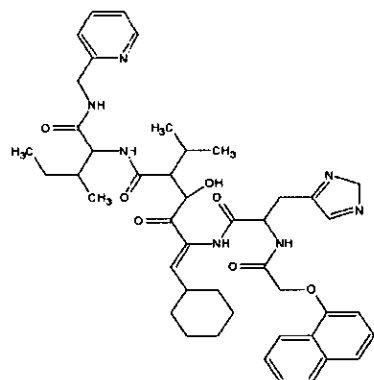
1c70_L75 *Alternate binding site for the p1-p3 group of a class of potent HIV-1 protease inhibitors as a result of concerted structural change in 80's loop*



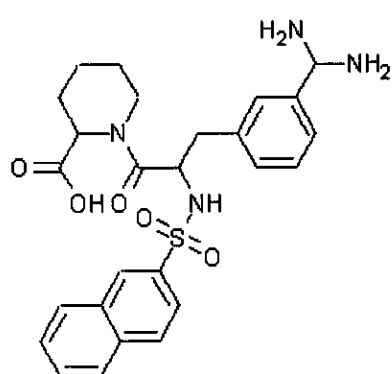
1c6y_MK1 *Alternate binding site for the p1-p3 group of a class of potent HIV-1 protease inhibitors as a result of concerted structural change in 80's loop*



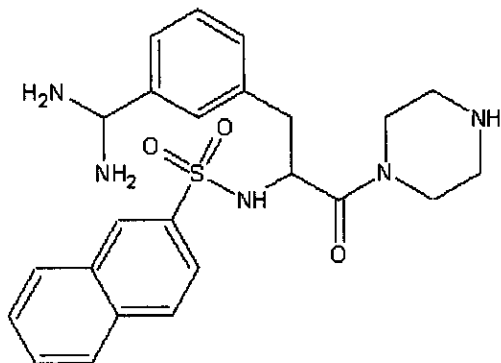
1k1m_FD4 *Bovine trypsin-inhibitor complex*



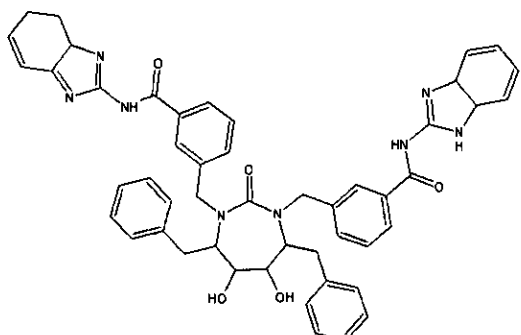
1ivp_NOA *Human immunodeficiency virus type 2 protease mutant with lys 57 replaced by leu (K57L) complex with u75875 (noa-his-cha-psi[ch(oh)ch(oh)]val-ile-apy)*

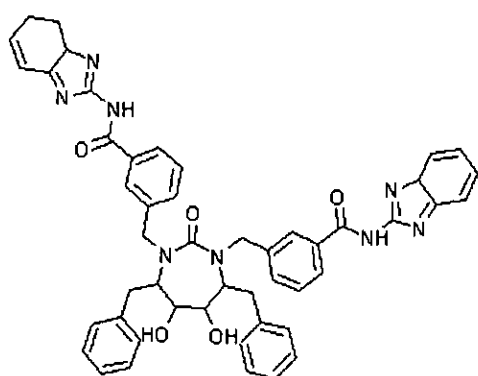


1k1i_FD1 *Bovine trypsin-inhibitor complex*



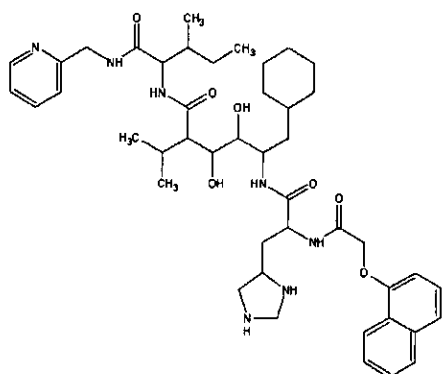
1k1l_FD3 *Bovine trypsin-inhibitor complex*





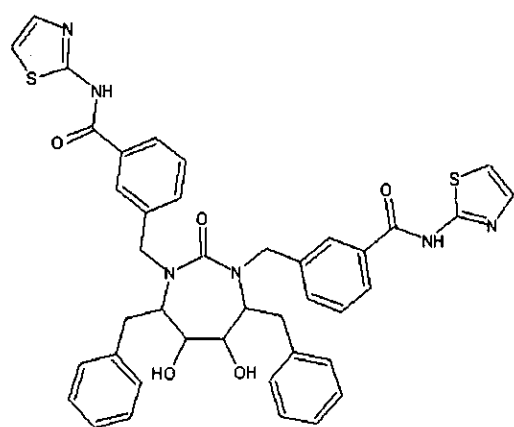
1qbt_146

HIV-1 protease inhibitors with low nanomolar potency



1hiv_NOA

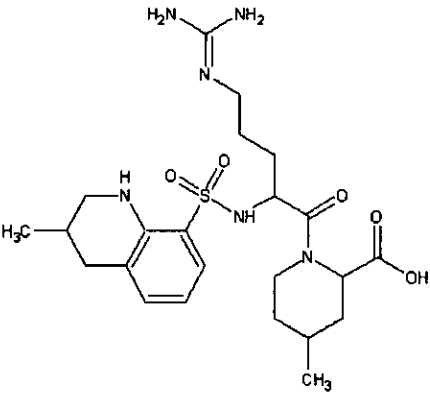
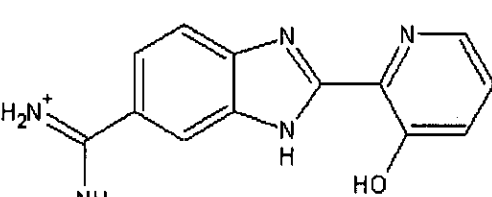
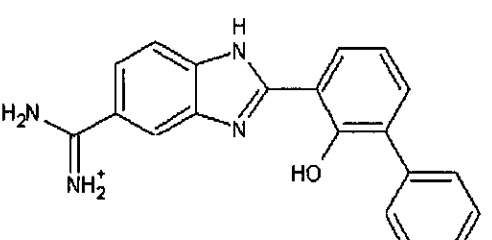
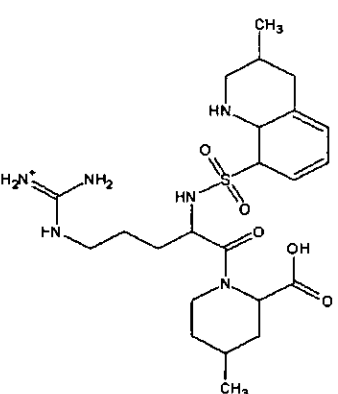
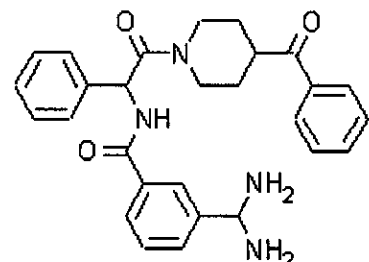
*HIV-1 protease (HIV-1 pr) complex with u75875 (noa-his-cha-psi[ch(oh)ch(oh)]val-il-e-
apy)*

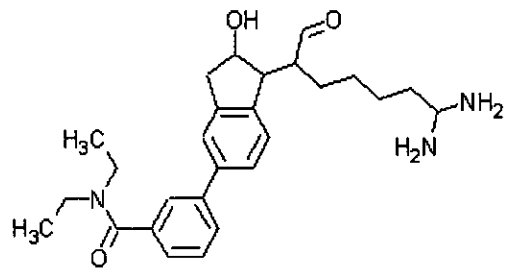


1bv7_XV6

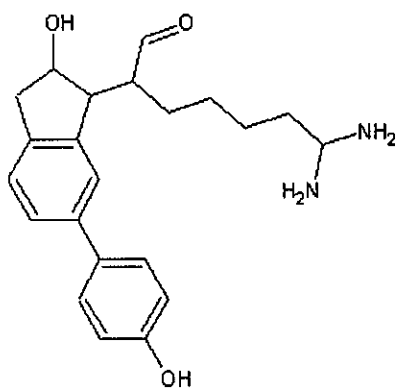
Counteracting HIV-1 protease drug resistance: structural analysis of mutant proteases complexed with xv638 and sd146 cyclic urea amides with broad specificities

Group 2: in the S1 pocket	PDB code	Description
	1qbn_688	<i>Bovine trypsin 2-[amino(imino)methyl]-2-hydroxyphe noxy]-6-[3-(4,5-dihydro-1h-imidazol-2-yl)phen oxy]pyridine-4- carboxylic acid (zk-806688) complex</i>
	1c2h_BAK	<i>Recruiting zinc to mediate potent, specific inhibition of serine proteases</i>
	1odx_OTB	<i>HIV-1 proteinase mutant a71t, v82a</i>
	1nb3_NAG	<i>Crystal structure of stefin a in complex with cathepsin h: n-terminal residues of inhibitors can adapt to the active sites of endo-and exopeptidases</i>
	1gj5_130	<i>Selectivity at s1, h2o displacement, upa, tpa, ser190/ala190 protease, structure-based drug design</i>

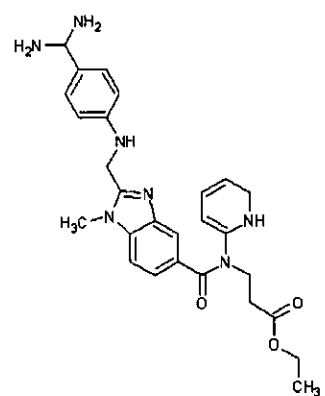
	1dwc_MIT	<i>Alpha-thrombin complex with (des-amino asp 55) hirudin (residues 55 - 65) and md-805 (argatroban)</i>
	1ghy_121	<i>A novel serine protease inhibition motif involving a multi- centered short hydrogen bonding network at the active site</i>
	1GJB_130	<i>Engineering inhibitors highly selective for the s1 sites of ser190 trypsin-like serine protease drug targets</i>
	1etr_MQI	<i>Epsilon-thrombin non-covalent complex with mqpa</i>
	1eb2_BPO	<i>Trypsin inhibitor complex (bpo)</i>



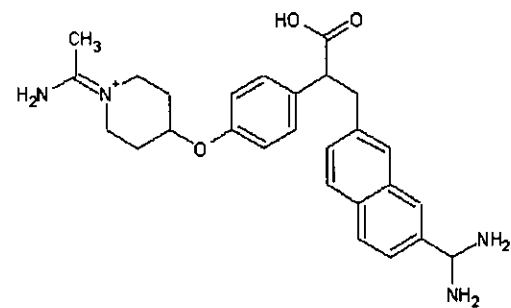
1qj7_GR1 *Novel covalent active site thrombin inhibitors*



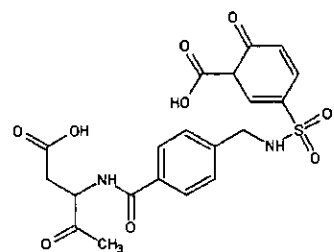
1qj1_166 *Novel covalent active site thrombin inhibitors*



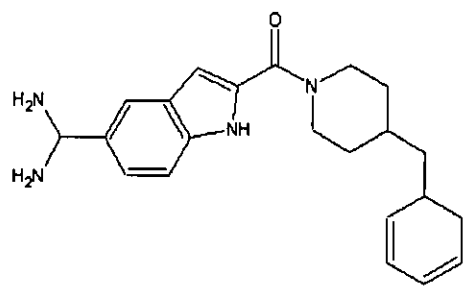
1kts_C24 *Thrombin inhibitor complex*



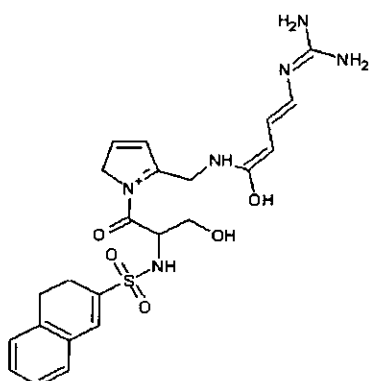
1mtv_BX3 *Factor xa specific inhibitor in complex with bovine trypsin*



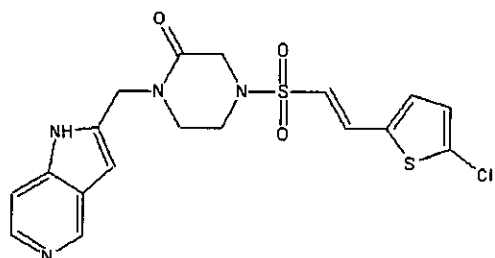
1EZQ_RPR *Crystal structure of human coagulation factor xa complexed with rpr128515*



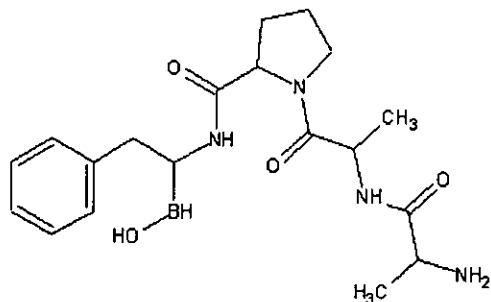
1d4p_BPP *Crystal structure of human alpha thrombin in complex with 5-amidinoindole-4-benzylpiperidine inhibitor*



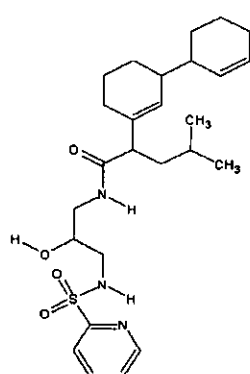
1bmm_BM2 *Human alpha-thrombin complexed with [s-(*r,R*)-4-[*(Aminoiminomethyl)amino*]-*n*-[1-[3-hydroxy-2-[*(2-naphthalenylsulfonyl)amino*]-1-oxopropyl]-2-pyrrolidinyl]methyl]butanamide (bms-186282)*



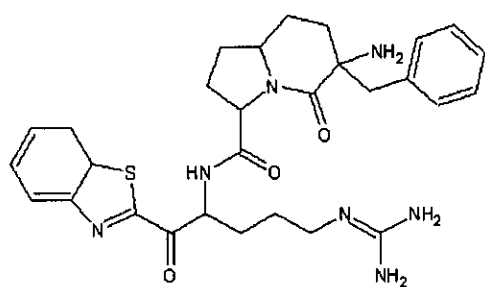
1NFW_RRR *Crystal structure of human coagulation factor xa complexed with rpr209685*



1P06 PPP *Alpha-lytic protease complex with methoxysuccinyl- Ala- Ala- Pro- Phenylalanine boronic acid*

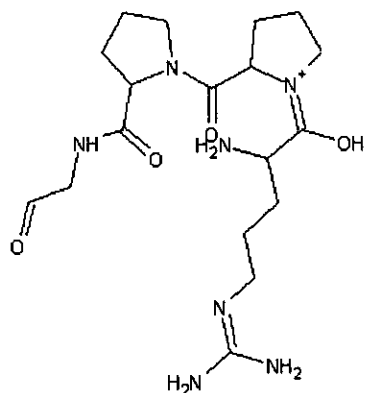


1bgo_I10 *Crystal structure of cysteine protease human cathepsin k in complex with a covalent peptidomimetic inhibitor*



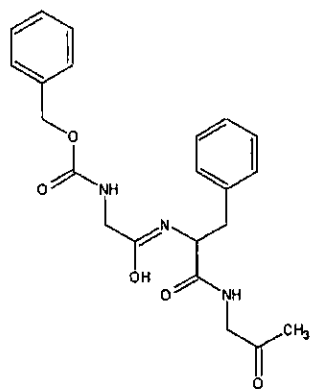
1b5g_BCC

Human thrombin complexed with novel synthetic peptide mimetic inhibitor and hirugen



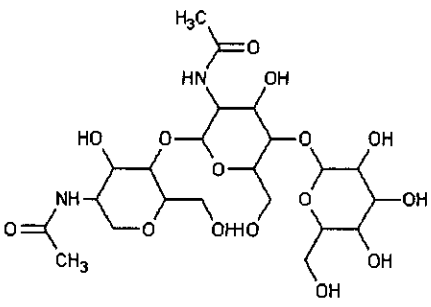
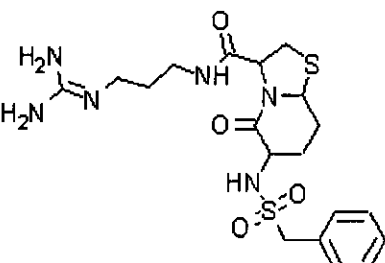
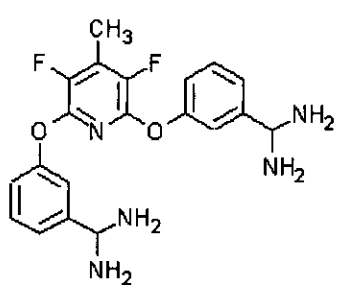
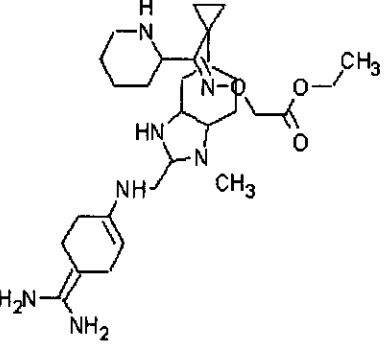
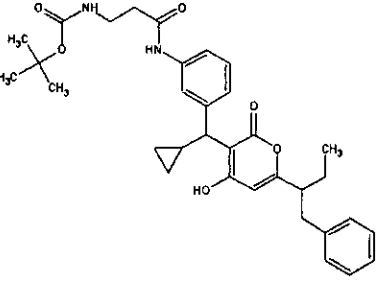
1ny2_PPP

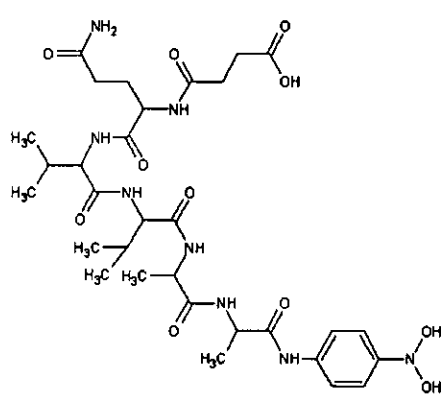
Human alpha thrombin inhibited by rppgf and hirugen



5pad_BZO

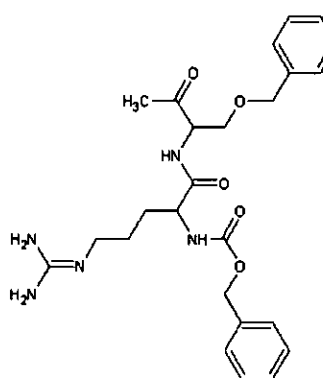
Papain -benzyloxycarbonyl-glycyl-phenylalanyl-methylenylglycyl derivative (/zgpgck)

Group 3: in the S1 pocket and catalytic site	PDB code	Description
	1nb5_NAG	<i>Crystal structure of stefin a in complex with cathepsin h</i>
		
	1bhx_R56	<i>X-ray structure of the complex of human alpha thrombin with the inhibitor sdz 229-357</i>
	1qb6_623	<i>Bovine trypsin 3,3'-[3,5-difluoro-4-methyl-2,6-pyridinediylbis(oxy)]bis(benzenecarboximidamide) (zk-805623 complex</i>
	1G2L_T87	<i>Factor xa inhibitor complex</i>
	2upj_U02	<i>HIV-1 protease complex with u100313 ([3-[3-[cyclopropyl [4-hydroxy-2oxo-6-[1-(phenylmethyl)propyl]-2-h-pyran-3-yl]methyl]phenyl]amino]-3-oxo-propyl]carbamic acid tert- butyl ester)</i>



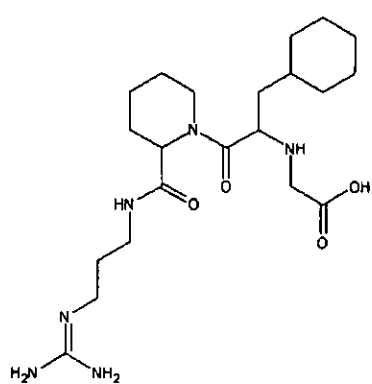
1pip_SIN

*Papain complex with
succinyl-gln-val-val-alanine-p-nitroanilide*



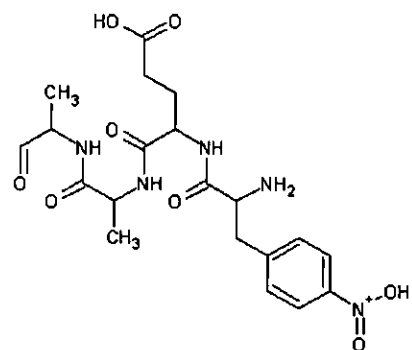
1the_CBZ

*Crystal structures of recombinant rat cathepsin b and a cathepsin b-inhibitor complex:
implications for structure-based inhibitor design*



1k1o_IGN

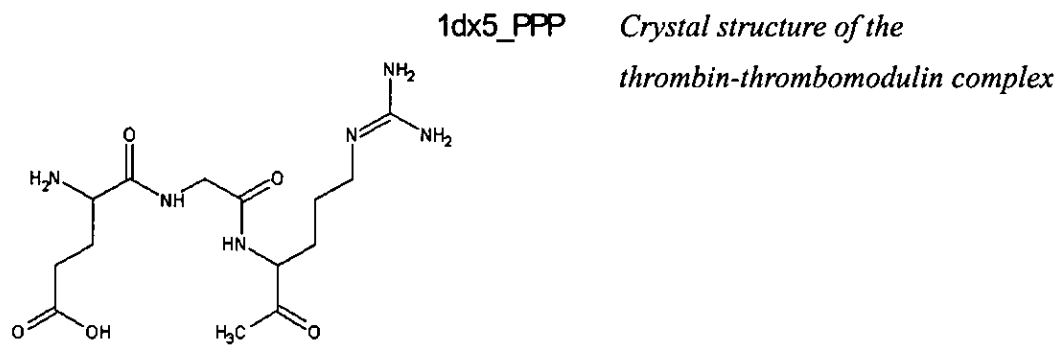
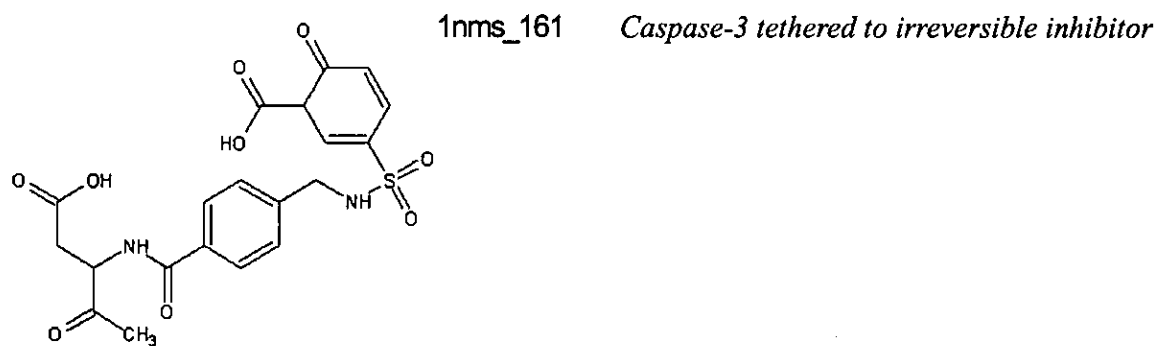
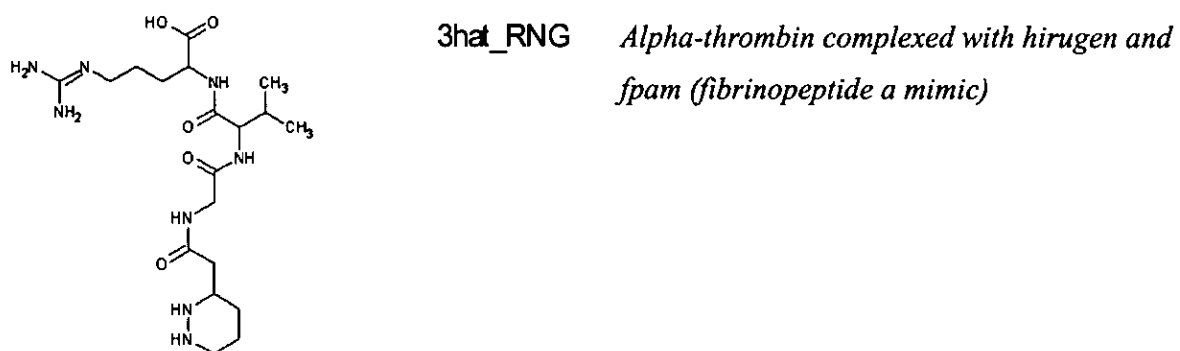
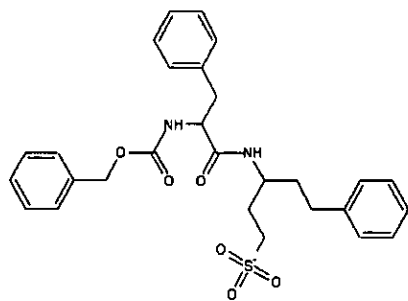
Bovine trypsin-inhibitor complex



1ytj_PPN

Siv protease crystallized with peptide product

1ewo_VSC *The cysteine protease cruzain bound to wrr-204*



5. 結論與建議

由 Serine protease 抑制劑的設計概念觀之，良好的抑制劑必須和 binding site 有足夠的結合與辨識能力。此外還必須能夠和 Serine 之 OH 基團產生交互作用，阻斷催化發生。因此在設計抑制劑時首要便是找出有可能和 binding site 的專一性控制區產生影響的分子結構，而後再以此一分子結構作為修飾的基礎，發展新的抑制劑。除此之外，因這幾個重要位置的胺基酸不易發生突變，因此針對這些位置設計的藥物，較不易因病毒的突變而失去效用。在我們 docking 的結果分析裡，docking 位置在 binding site 裡的，及 docking 位置在 S1 pocket 及 catalytic triad 的化合物較符合成為前導藥物的條件，可以做為實驗時的優先選擇。

6. 審查意見之回覆

6.1 審查意見

本研究在預測藥物之副作用及毒性方面之預期目標，未在報告中有實驗結果或結論之呈現，請補充修正。

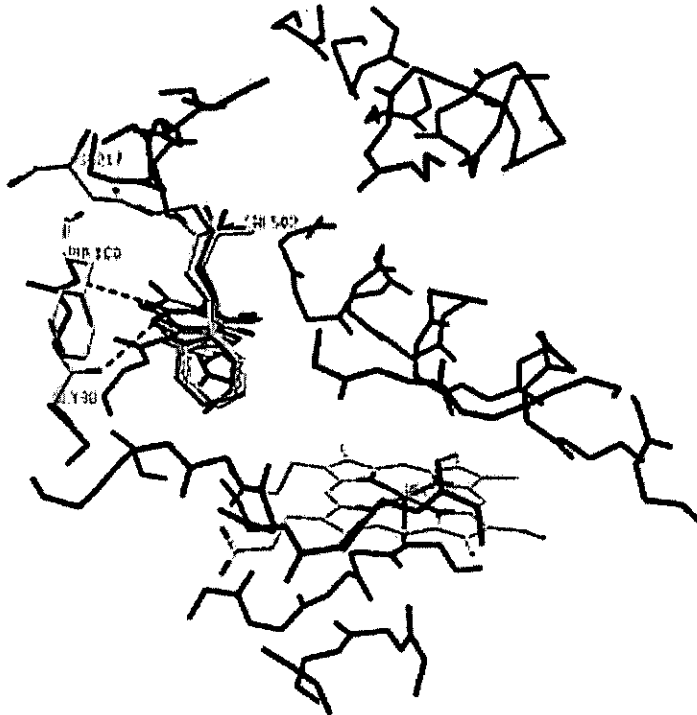
6.2 回覆意見

有關毒性預測方面，我們已嘗試以下方法：

1. Building P450 methods

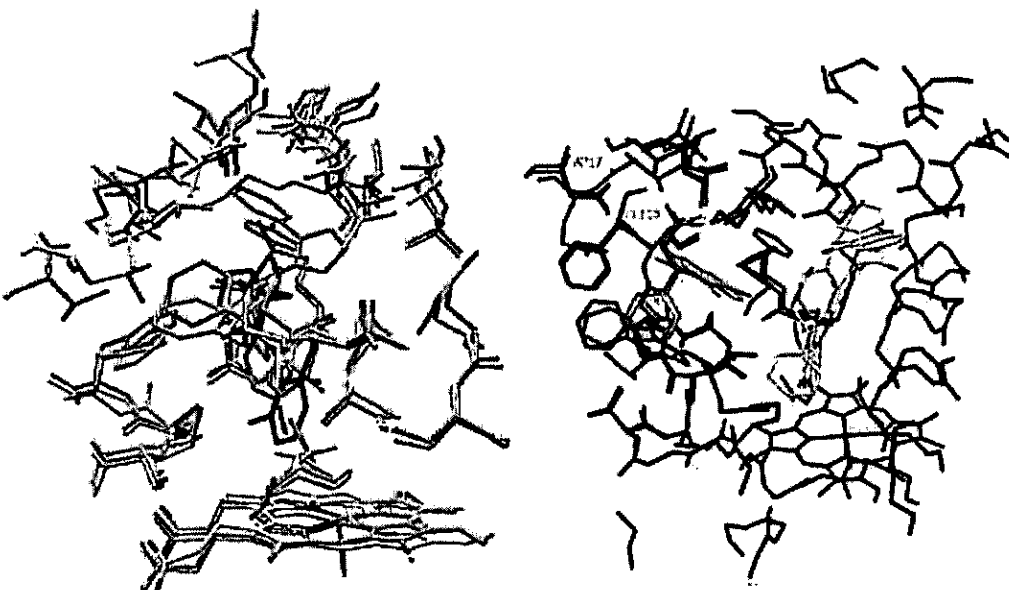
我們採用人類 P450 2C9 蛋白質作為預測系統之發展基礎。利用 GEMDOCK 將已知 P450 2C9 之受質或抑制劑嵌合(docking)回人類 P450 2C9 蛋白質(PDB code: 1OG5, 1OG2)，並將 dock 的結構與位置做成 profiles，希望藉由找出這些已知受質與抑制劑 profiles 的差異，並加以應用達成毒性預測的目標。

我們測試了 GEMDOCK 對已知的人類 P450 蛋白質與 ligand 結晶，是否能夠成功的嵌合(docking)回原結晶位置。圖一為測試結果，GEMDOCK 可以成功將其受質嵌合回原位。



圖一、對10G5與其分子SWF的分子嵌合結果。藍色部分為
10G5之結合區域，下方CPK顏色者為HEME，左方標示橘色者
為原結晶之分子，和橘色位置重和的是分子嵌合結果，在
左側標示CPK顏色的是與原結晶分子有氫鍵之氨基酸。

但由文獻得知此一位置並不是 P450 正常受質結合與催化位置，一般認為正常的位置應如圖二所示，受質位於 heme 之上方。因此我們對有受質的 10G5 與沒有受質的 10G2 分別加以測試，得到結果如圖三所示，對 10G2，SWF 並沒有回到 10G5 受質的位置，反而是偏好 heme 上方的位置。因此我們用來作分子嵌合的蛋白質仍然選擇有受質的 10G5，但是對結合區作適當的修飾，使得 SWF 能夠回到於接近催化狀態的位置，採用這樣的活性區域作為作 docking profile 的目標(docking target)。

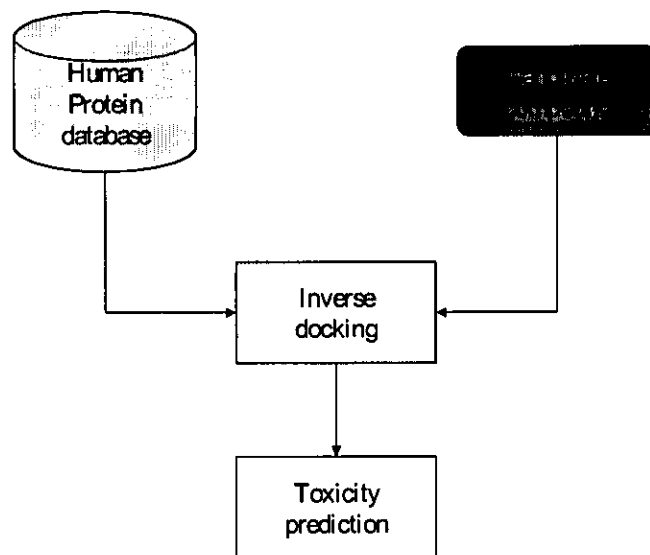


圖二、兔子之P450 2C5的結構。淡綠色部分為IDT6，淡黃色部分為IN6B，橘色者為其受質DMZ，淡紅色部分為INR6，紅色者為其受質DIF。此三者為同一蛋白質之結晶，受質通常位於Heme之上方，且受質不同造成結合區域之結構也不同。

圖三、10G5_swf與10G2的分子嵌合結果與結合區的差異。藍色與粉紅色者是10G5，橘色是結晶位置，青色是嵌合結果。CPK顏色者則是swf對10G2的嵌合結果，兩者有相當大的差異。綠色部分是10G2與10G5在結合區的蛋白質結構不同處。

我們將已經修飾過的10G5的結合區和已知的2C9之抑制劑與非抑制劑作分子嵌合(molecular docking)實驗，並將其嵌合結果之最低能量構形與位置作成profiles，但是目前實際效果並不是很好。因此我們正在思考引入其他的資訊，例如分子物化性質與特性，使毒性預測準確率達到預期效果。

2. Inverse docking



圖四、Inverse docking 流程圖

Inverse docking 是以已經篩選出的可能抑制劑為標的，針對人類蛋白質資料庫中的蛋白質做鉗合預測 (docking) (圖四)，目的在找出是否還有其他的蛋白質可能會與篩選出的抑制劑結合，而影響其活性，即預測此抑制劑可能造成的副作用。在做鉗合預測的時候，由於蛋白質的活性區域目前被程式認為是剛體，所以不會因與小分子的結合而改變 (induce-fit)。這在鉗合預測時是比較不合理的，目前的解決方法就是以蛋白質和抑制劑共同結晶 (protein-ligand complexes) 的結構為鉗合預測的標的，以減少因為活性區域的結構改變 (induce-fit) 造成的誤差。所以在建立蛋白質資料庫的時候，主要是以與小分子結合的蛋白質為主，但是因為目前已知的蛋白質和抑制劑共同結晶的結構數目有限，所以無法對人類的所有蛋白質做完整的毒性預測。在 PDB 中人類的蛋白質 X-ray 結晶結構共有 4,219 個，其中與抑制劑的共同結晶結構有 981 個 (表一)。且目前我們的程式仍然將蛋白質的部分當作剛體，在諸多限制之下，inverse docking 的效果可能不是很理想，所以未在結報中提出。

1HNE	1E99	1E8Z	1BB0	1PTA	1HNI	1SLM	1BB5	1SLN	1JKN	1E9A	1E9B	1E9C	1E9D	1AE8	1E9E	1E9F	1Q4L
1IKW	1G3N	1E9H	1DZH	1Q4N	1KX	1KY	1HNV	1OZN	1QS4	1H0V	1OXQ	1H0W	1UGH	1G49	1OY7	1BBS	1LD7
5HVP	1FUJ	1G4K	1HIP	1IJ9	1IJZ	1H1Q	1HIR	1H1S	1OYN	1H24	1HP7	1BCD	1PW2	1H25	1H26	1OZI	1H27
1PW6	1OYT	1CA0	1MAR	1CA2	1BCU	1CA8	1MAZ	1BD8	1JK3	1HK2	1BD9	1PHO	1H2L	1H2M	1H2N	1RQQ	1QTN
1HPS	1PWM	1HPT	1HPV	1GSS	1BDA	1R42	1HPX	1S18	1G5S	1HPZ	1FVT	1PVV	1P92	1F8U	1SUPJ	1BDL	1JKH
1BDQ	1BDR	1K10	1F9E	1AGW	1PXH	1PAH	1R4L	1PXI	1PXJ	1PXL	1HQU	1G73	2TGI	1JLA	1XAN	1JLB	
1JLD	1JLE	1JLF	1EZK	1JLG	1CC0	1NA7	1LG1	1LG2	1UK0	1UK2	1JLQ	1GUH	1AHT	1UK3	1G7F	1UK4	1G7G
1GUL	1TMU	1A18	1S2Q	1H1R	1RT1	1RT2	1RT3	1PYN	1RT4	1PYO	1RT5	1HS2	2ACH	1RT6	1HS6	1H53	1RT7
1H4W	2HMB	1AD	1QVY	1PXY	1AII	2HMI	1S3B	1NB3	1NB5	4PHV	1S3E	1AIN	1HSG	1RTH	1HSH	1JMO	1HSI
1R6K	1AIX	1KJY	1R6N	1Q9M	1S3U	1S3V	1S3W	1LHC	1LHD	1LHE	1LHF	1R78	1LHG	1G96	1DAN	1VU	1MEM
1DB2	1MER	1DB4	1BGO	1MES	1DB5	1MET	1HTE	1MEU	1HTF	1HTG	4NOS	1TOM	1DAZ	1L14	1HT1	1AJV	1QXK
1RV1	1R80	1R81	1R82	1R7T	1R7U	1UMA	1R7V	1R7X	1BHF	1R7Y	1KLM	1MFU	1RI	1MPV	1HUG	1GXD	1LIT
1UN3	1BHX	1B17	1UN4	1B18	1UN5	1H4O	1U51	1GY3	1KMC	2CA2	1BIK	1B1L	1BIM	1STF	1HVC	1HVD	1HVE
1DCY	1LJT	1HVH	1HVI	1KMS	1HVJ	1KMT	1HVK	1BIW	2CAB	1HVL	1KMW	2GSS	1AM6	1JQ6	1UQ7	1ISR	1HVS
1CGE	1EAK	2CAN	1CGF	6UPJ	1HW8	1HW9	1CGH	1CGI	1GZ8	1CGJ	1OC0	1CGL	1LKK	1EAW	1DE4	2K15	6PAH
1HWI	1HWJ	1KNT	1HWK	1HWL	1I0U	1YDA	1ITQ	1YDB	830C	1YDC	1YDD	1ITU	1HX1	1I73	1I76	1EBU	1INFI
1EC2	1ANG	1EC3	1UPJ	1HXB	1EBW	1EBY	1HXE	1EBZ	1HXF	1AOL	2H4N	1ANT	1BL6	1URR	1BL7	1ANW	1KIT
1J4R	2AID	5GDS	1HGX	1HY7	1KPA	1KPB	1KPC	1KPE	1K2B	1PAU	1KPF	1K2C	1CIL	1CIM	1CIN	1ECV	1ODW
1ODY	1CIZ	1LMW	1BLX	1HPV	1HVQ	1JSU	1FAK	1MKD	1OEM	1OEO	1A2C	1CJL	1OES	1FAV	1OET	1BMK	1OEU
1OEV	1BMM	1BMN	1BMQ	1HNX	1BN1	1BN3	1BN4	1AQ1	1A30	7KME	1LO6	1KQU	1PCG	1FC0	1EEN	1EBO	1A3B
1BET	1A3E	1PD8	1BNM	1CKP	1PD9	1FBZ	1BNN	1VPP	1BNQ	1USN	1D18	1BNT	1D19	1BNU	1BNV	1BNW	1PDB
1AQW	1AQX	1DIA	1XKA	1A46	1XKB	1DIB	1K58	1MMB	1K59	3CA2	1DIF	1BOA	1DIG	1LPB	2OAT	1K5A	1L2E
1OGU	1B11	1OGS	1NJS	1MMP	1B1J	1INJ	1MMQ	1DIT	3CAA	1NU	1MMR	1LQ0	3GSS	1JVP	1UU3	1AS4	1GAG
1UU8	1A4W	1A4Y	3TLH	1OHJ	1OHK	1M0B	1QBR	1QBS	1QBT	1NKK	1QBU	1LQF	1CMI	1QBV	1NKM	1CMK	1OHR
1PF8	1ASG	1ASH	1EH6	2KNT	1EH7	1EH8	1IZH	1NL6	1IZI	1VRT	1NL9	1VRU	1M14	1K6P	1AT3	1A61	1QCF
1K6T	1JWT	1K6V	1FEJ	1GBN	2ANG	1NLJ	2MIP	1FF0	2UPJ	1B3D	1OIQ	1OIR	1OIT	1ATH	1BQM	1ATK	1B3K
1BQQ	1B3O	1AU0	1COT	1CNW	1COU	1CNX	1UVR	1KV1	1AU2	1CNY	1QDD	1KV2	1AU3	1JXQ	1ATU	1AU4	3AID
7API	1UW7	1AU8	1FFF	4THN	1FF1	1C1B	1GDO	1BRC	1C1C	1UWB	1PH0	1QDU	1A7C	1DLO	1PG6	1GCZ	1NMS
1MQ0	1CP3	1KVO	1AUT	1HAG	1JYQ	1IHAH	1JYR	1AVS	1FGC	1IHK	1IYU	1A85	1A86	1B59	1FG1	1HAO	1HAP
1OKM	1OKN	1EJN	1FH0	1CPI	1OLO	4GR1	1OL1	1OL2	1B5G	1AVH	1OKU	1A8G	1OKV	1OKW	8KME	1KWM	1A8K
1CPU	1NNY	1AVR	1A94	1QPK	1HBT	8HVP	1RD4	1B6A	1HBV	1HBV	1IM4H	1AWF	1C3I	2USN	1N1M	1LU1	1AWH
1HCB	1M51	1A9M	1MS6	1MRW	1IMRX	1HCK	1A9U	1NPA	1DOA	1ICRA	1IPJK	1SAV	1IPJ	1AXA	1AXC	4CAA	1GFW
1MSM	1L8G	1MSN	1MSK	1MSO	3HVT	1NPV	1MSP	1AXN	1NPW	1LW0	1SBG	1LW2	1MT7	1M78	1M5V	1N39	1MT9
1B7X	1IB1	1OOD	1N3A	1IAS	1MTB	1ONI	1IAU	1HDT	1LWC	1REV	1LWE	1LWF	1CSG	1EMR	1PL6	1PL7	1PKX
1FK9	2BPW	1KZK	2BPX	1MTR	2BPY	1O08	1ONY	2BPZ	1ONZ	1AYP	1QIA	1QIB	1M73	1AZ1	1QJC	1AZ2	1HEF
1CSW	1AYU	1CSX	1AYV	1CSY	1AYW	1CSZ	1B8Y	1FKG	1FKH	1FKI	3UPJ	1D3D	1FKN	1BWC	1FKO	1FKP	2WPO
1G18	1G19	1D3P	3PAH	1NRS	1D3Q	1M7N	1AZM	1C70	1D3T	1M7Q	1HFC	8API	1QJB	1C6X	1C6Y	1PME	1CGZ
1AZX	1GII	1GU	1TAW	1OPH	1ID4	1HFS	1PMN	1NSI	1PMQ	1D4H	1D4I	1D4J	1GJ7	1PMU	1GJ8	1PMV	1GJ9
1IDA	1IDB	1EIV	1D4S	1DS6	1E1X	1C83	1GJA	1GJB	1C84	1GIC	2FG1	1D4Y	1C85	1GID	1C86	37987	4HTC
1UA0	1CS8	1JAP	1JAQ	1RHO	1E2D	1E2E	1E2F	1E2G	1TBZ	1HH4	1PO1	1N6J	1BYG	1PO2	2CPU	1DSM	1O3P
1M9K	1E+31	1FN7	1O41	1O42	1MWP	1M9M	1O43	1O44	1MX1	1D55	1IEC	1O45	1MX2	1O46	1M9Q	1LZQ	1O47
1O48	1O49	1MX6	1CVW	1C8T	1D5X	1GKC	1HE1	1GKD	1DS2	9HVP	1O4A	1O4B	1O4C	1JBU	1O4D	1O4E	1O4F
1O4G	1O4H	1D6E	1O41	1BZC	1O4J	1O4K	1N71	1O4L	1O4M	1N7J	1BZH	1O4N	1O4O	1BZJ	1OS2	1O4P	1D6N
1O4R	1BZM	1O59	2HCK	1BZS	1QMB	1HHH	1JCN	1HII	1P2A	1BZY	1JCQ	1PPF	1PG	1QMN	1GLO	5CAC	1FJ1
1KAK	1NW9	1DTX	1FPC	1KAV	1DVA	9PAI	1RK0	1RKP	1MZC	1D8F	1FQ1	1NWL	1DVM	1DVN	1KBC	1D8M	1G05
1FPZ	1IIB	1DVU	1TFG	1DW6	1HKB	1KBO	1AAP	4UPJ	1KBO	1AAQ	1DWB	1HKN	1DWC	1AAC	1DWD	1GNM	1IHS
1GNN	1IHT	1GNO	1JF7	1TFX	1Q1M	1OUK	1PRO	4PAH	1RM8	1P4R	1CZM	9API	1FQX	1CZQ	1UDI	1OYU	1DX5
1P5E	1OVE	1IIQ	1PSI	1HLT	1FRO	1UEA	1Q2U	1NZ7	3HAT	1RNE	1VBS	1Q3A	1VBT	1THP	1THR	1UH1	1BA8
1G2K	1HMR	1HMS	3CPU	1F5K	1H00	1HMT	1F5L	1FSO	1H01	1FT0	1FT3	1H06	1H07	1G35	1H08	1NZQ	
1E98																	

表一、與抑制劑的共同結晶結構 981 個

3. 類神經網路毒性預測系統

我們擷取已知為 P450 抑制劑與非抑制劑之化合物 2 維平面結構與化學式的特徵值。然後將化合物分為兩組，抑制劑組與非抑制劑組，並將每一個化合物的特徵值之統計量送入類神經網路，作為訓練組。利用訓練組，訓練類神經網路系統分辨，並找出抑制劑與非抑制劑之重要不同與相同之特徵值。然後再將訓練好的類神經網路應用到分辨具有 P450 抑制效果的化合物之辨認。

H-ar.	H-na	C-H.	C=O.	C-qj.	N sp2.	N-na	N=C.	O-na	O=x.
Psp2.	F-x.	Cl-x.	Br-x.	I-x.	Metal.	#cirl.	#atom.	chrg	

上表為我們選出作為化合物性質代表之特徵值，其中 ar 代表芳香環，na 代表非芳香環，C-H 代表接碳的氫，C=O 則是酮基，sp2 為 sp2 軌域，N=C 則是接氮而且具有雙鍵的碳，x 是任意原子，#cirl 是環數，#atom 是原子總數，chrg 是帶電量。

我們希望上表所分類與擷取的化合物特徵能夠和化合物毒性有相關性，而後藉著類神經網路系統的幫助加以找出真正與毒性相關的特徵，對 P450 抑制劑與非抑制劑得到適當的分辨率。未來除了類神經網路以外，我們也將嘗試使用 SVM(support vector machine)，作為分類的工具。

目前我們已經有了毒性預測系統之原型(prototype)，但是實際效果並不如預期。因此我們未來在計畫中將會對毒性預測系統之原型繼續加以發展，希望能夠達到理想的毒性預測能力。

7. 參考文獻

1. Yang, J.M., et al., *GEM: A gaussian evolutionary method for predicting protein side-chain conformations*. Protein Science, 2002. 11: p. 1897~1907.
2. Yang, J.M., *An evolutionary approach for molecular docking*. Lecture Notes in Computer Science, 2003. 2724: p. 2372-2383.
3. Murthy, H.M., S. Clum, and R. Padmanabhan, *Dengue virus NS3 serine protease. Crystal structure and insights into interaction of the active site with substrates by molecular modeling and structural analysis of mutational effects*. J Biol Chem, 1999. 274(9): p. 5573-80.
4. Bartelma, G. and R. Padmanabhan, *Expression, purification, and characterization of the RNA 5'-triphosphatase activity of dengue virus type 2 nonstructural protein 3*. Virology, 2002. 299(1): p. 122-32.
5. Modis, Y., et al., *A ligand-binding pocket in the dengue virus envelope glycoprotein*. Proc Natl Acad Sci USA, 2003. 100(12): p. 6986-91.
6. Murthy, H.M., et al., *Crystal structure of Dengue virus NS3 protease in complex with a Bowman-Birk inhibitor: implications for flaviviral polyprotein processing and drug*

- design.* J Mol Biol, 2000. 301(4): p. 759-67.
7. Bissantz, C., G. Folkers, and D. Rognan, *Protein-Based Virtual Screening of Chemical Databases. 1. Evaluation of Different Docking/Scoring Combinations.* J Med Chem, 2000. 43: p. 4759-4767.
 8. Champness, J.N., et al., *Exploring the Active Site of Herpes Simplex Virus Type-1 Thymidine Kinase by X-Ray Crystallography of Complexes With Aciclovir and Other Ligands.* Proteins, 1998. 32: p. 350-361.